

MINERAIS DO PARANÁ S.A. - MINEROPAR

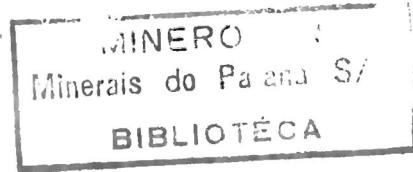
MARQUÊS DE ABRANTES (AU-PB)

RELATÓRIO DE ETAPA

PESQUISA DE ALVO GEOLÓGICO (GEOQUÍMICO)

JOÃO CARLOS BIONDI

JUL/1985



MINERAIS DO PARANÁ S/A - MINEROPAR

MARQUÊS DE ABRANTES (Au - Pb)

RELATÓRIO DE ETAPA

PESQUISA DE ALVO GEOLÓGICO - GEOQUÍMICO

M 553.411
553.44
B 615

Autor: JOÃO CARLOS BIONDI



MARQUÊS DE ABRANTES (Au-Pb)

RELATÓRIO DE ETAPA:- Pesquisa de Alvo Geológico-Geoquímico

I - INTRODUÇÃO

O alvo Marquês de Abrantes corresponde a área anôma la nº 06, resultante do projeto de verificação de anomalias do Capivari-Pardo (Relatório de Fritzsors et alii (1984). A região foi caracterizada como alvo devido a presença de anomalias geoquímicas de Pb em sedimento de corrente, de Au em concentrado de bateia, e pela descoberta de uma lavra antiga, abandonada, de Au em aluvião, todos sobre xistos da Formação Perau, nas proximidades do contato com gnaisses do Setuba.

O acesso à área é feito a partir da estrada da Ribeira (fig. 01), entrando-se para leste na localidade de Campinhos, 07 km antes de Tunas. Marquês de Abrantes, situado no centro norte do alvo (fig. 01), dista 17 km de Campinhos.

II - SITUAÇÃO LEGAL

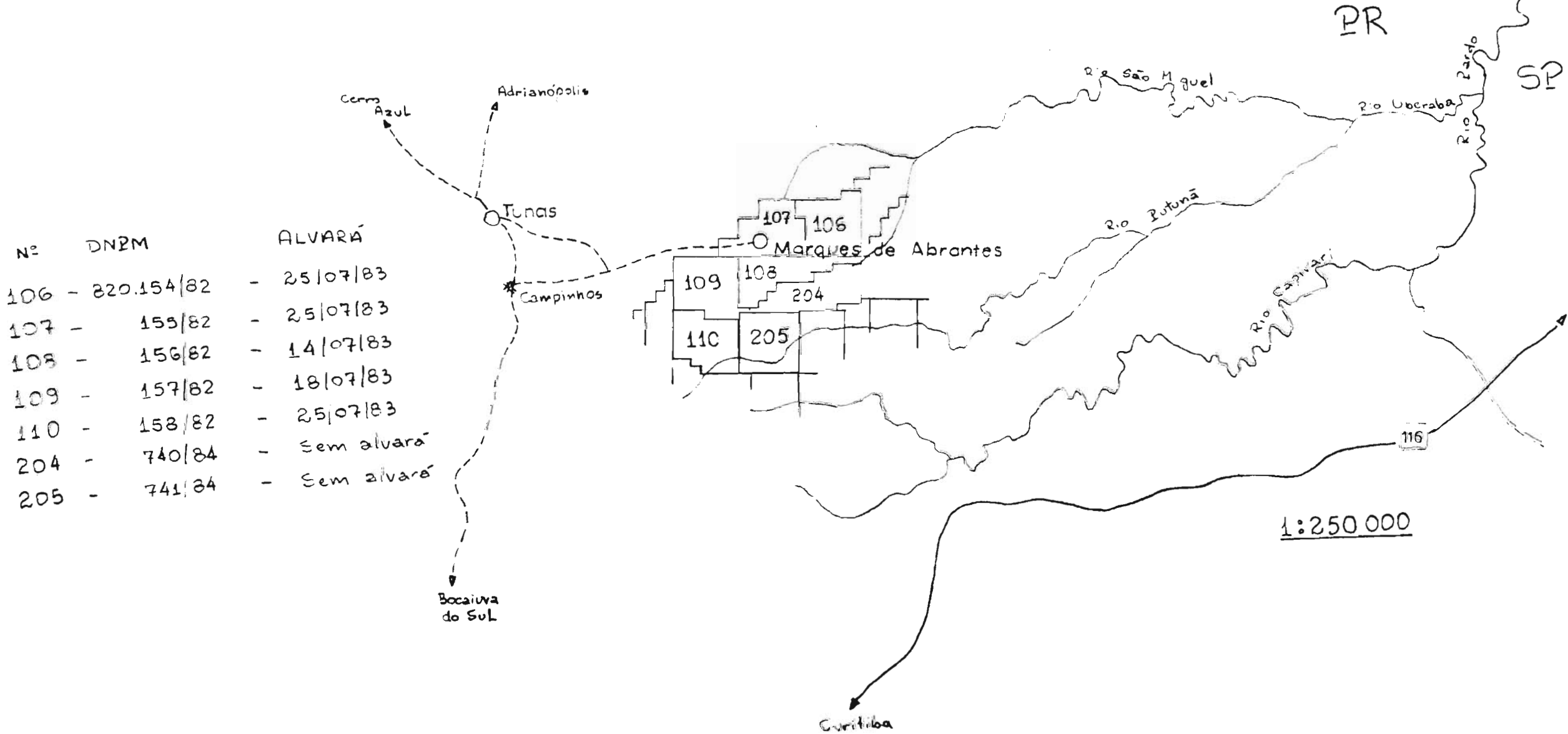
O alvo abrange sete pedidos de pesquisa (fig. 01).cinco dos quais com alvarás concedidos em Julho de 1983. Os outros dois estão ainda sem alvarás, embora sejam áreas consideradas livres pelo Controle de Área.

O maior superficiário da região é a Reflorestadora REBRASA, com quem a MINEROPAR tem apenas um acordo verbal. A região entre os ribeirões da Lavra e das Barras, no centro do alvo (vide mapas anexos), pertence à Reflorestadora INVEST, com a qual a MINEROPAR não tem acordo. Esta área engloba parte da zona considerada prioritária dentro do alvo, o que lembra a necessidade de firmar acordos escritos com estas Reflorestadoras a fim de evitar problemas durante a próxima fase dos trabalhos.

III - PRODUÇÃO FÍSICA E METODOLOGIA

Como metodologia optou-se, em uma primeira etapa, pelo adensamento da amostragem geoquímica e pela perfilagem geológica de todas as drenagens importantes da área. Foram coletadas amo-

Fig. - 01



tras de sedimento de corrente (SC) e concentrado de bateia(CB) em todas as drenagens, sistematicamente, com dois tipos de espaçamentos (vide mapa de pontos de amostragem):

a) Um CB e um SC a cada 100 metros, nas drenagens anômalas conhecidas ou aquelas onde a perfilagem revelou a presença de lavras antigas, abandonadas.

b) Um SC a cada 250 m e um CB a cada 500 m, coletados concomitantemente em todas as outras drenagens.

Embora a parte norte da área, corresponde a bacia do rio São João, não tenha revelado nenhum interesse durante a verificação de anomalias, ela foi englobada no alvo ~~devido~~^{POC} a conter os maiores aluviões da área. O concentrado de bateia foi extendido até esta área visando verificar o potencial desses aluviões para conterem depósitos de ouro.

Foram abertos dezoito poços, espaçados regularmente de 50m, em duas linhas, uma com dez outra com oito poços. Estas linhas foram locadas em posições de interesse geológico e geoquímico. Os poços foram feitos com dois objetivos:

a) Verificar o tipo de substrato rochoso no local.

b) Fornecer amostras que orientassem uma possível geoquímica de solo a ser feita na região.

Cada poço foi aberto até atingir a rocha alterada . Cada horizonte foi amostrado de duas maneiras diferentes:

a) Uma amostra de canal, composta, analisada para Pb e As.

b) Uma amostra de concentrado de bateia, analisada para Au.

Todas as amostras de concentrado de bateia coletadas no alvo, seja nas drenagens seja nos poços, foram obtidas da concentração de 20 litros de material(cascalho nas drenagens ou sólos nos poços). Os concentrados obtidos foram todos pesados antes de serem mandados para análise. Este procedimento permitiu o cálculo dos teores em miligrama de Au por metro cúbico(Mg/m^3) de material coletado, um índice muito mais fiável que o ppm. Este índice foi usado para a interpretação dos resultados de Au obtidos. Foi também, possível obter a quantidade de pesados por litro de cascalho, em cada ponto de coleta. A análise deste dado(grama de pesados por litro de cascalho) permite visualizar quais as áreas e/ou litologias mais ricas em minerais pesados(áreas hidrotermalizadas, diques de diabásio, presença de anfibolitos, etc) o que auxilia na

interpretação da geoquímica e no mapeamento geológico (vide mapa anexo, de distribuição dos minerais pesados).

O projeto foi iniciado dia 21 de fevereiro de 1985. Até a elaboração deste relatório a produção física do projeto foi a seguinte:

Pontos descritos na perfilagem 158

Amostras de mão coletadas..... 016

Lâminas petrográficas feitas e descritas 008

Poços abertos 018

Amostras coletadas para geoquímica:-

- Concentrados de bateia em drenagens 364

- Concentrados de bateia em poços 071

- Sedimento de corrente 456

- Amostras de solo em poços 082

Dosagens químicas:-

- Para Au em concentrado de bateia 435

- Para Au em rocha 007

- Para Pb em sedimento de corrente 456

- Para Pb em amostras de solo 082

- Para As em amostras de solo 082

- Para Pb em rocha 006

Mapas produzidos:-

- Geológico 001

- Geoquímico para Au 002

- Geoquímico para Pb 002

- Distribuição de minerais pesados 001

IV - GEOLOGIA DA ÁREA

A perfilagem feita permitiu a elaboração de um mapa geológico preliminar. Deve-se ressaltar que a precisão deste mapa não é compatível com a escala (1:10.000, vide anexo). Este documento foi feito sobretudo para auxiliar a interpretação das informações geoquímicas e a compreensão dos controles da mineralização.

4.1 - Estratigrafia:-

A área abrange três unidades principais, interpretadas atualmente como pertencentes a três Grupos diferentes (quadro 1).

Quadro 01:- Unidades Litológicas da Área do Marquês de Abrantes

GRUPO	FORMAÇÃO	LITOLOGIAS	
-	-	Qa -	Aluviões
Açungui	Capiru	PSc -	Sericita xistos e metassiltitos indivisos
		PScm-	Sericita xistos metasíliticos, eventualmente com "mullions" de quartzo
		PScq-	Quartzitos friáveis, quartzitos maciços, quartzo xistos e muscovita quartzo xistos
Setuva	Perau	PIpx-	Quartzo mica xisto, muscovita xisto, sericita-clorita-biotita xisto e raros biotita-sericita xistos carbonáticos
		PIpsi-	Cataclasitos silicosos hidrotermalizados, brechas turmalínicas e cataclasitos feldspáticos
"pré-Setuva"		PIpsgn-	Gnaisses cataclasados e silicificados
		PIpsg-	Gnaisses foliados, muito transpostos e silicificados

As condições atuais destas unidades, deformadas e transpostas, dão poucas possibilidades a que se determine as relações primárias que mantiveram entre si. As atitudes medidas via de regra são de foliações fortemente desenvolvidas que mascaram as feições primárias das rochas. Estas foliações são paralelas aos planos de contato reconhecidos no campo, identificando estes contatos como um bandamento composicional formado pela transposição e não como planos de separação de unidades geocronológicas distintas. A diferença entre as unidades é essencialmente composicional e de grau de cristalinidade. Os gnaisses, logicamente, caracterizam-se também por um grau metamórfico mais elevado.

4.2 - As unidades Litológicas:-

a) Grupo Açungui, Formação Capiru, unidades PSc e

PScm:-

São essencialmente sericita xistos (filitos) cinzentos ou esverdeados, quando inalterados. O intemperismo torna-os amarelos ou avermelhados, muitas vezes ressaltando um bandeamento rítmico milimétrico. Quanto mais próximos das rochas da Formação Perau estes xistos mostram-se mais amarrotados e venulados por quartzo. Em alguns lugares são granatíferos (JC-1282). Para noroeste cresce a quantidade de clásticos nas rochas, passando a predominar os metassiltitos sericíticos e metassiltitos puros, típicos do Capiru.

Estas unidades caracterizam-se, também, por serem ricas em minerais pesados (vide mapa anexo), gerando aluviões com mais de 10g de pesados por litros de cascalho.

b) Grupo Açungui, Formação Capiru, unidade PScq:-

Esta unidade perfaz a base local da Formação Capiru. A nordeste da área é composta por quartzitos finos, muito duros e recristalizados, que constituem bancos lenticulares com poucos metros a algumas dezenas de metros de espessura e poucas centenas de metros de extensão. Na parte central da área os quartzitos são mais grosseiros, geralmente muito friáveis e inequigranulares. Há bancos de composição ortoquartzítica, cônus brancas e, por serem friáveis, com aspecto de "açúcar". (JC-1189 e JC-1193), geralmente intercalados com metassiltitos quartzosos. Em muitos locais esta unidade mostrou-se mais aluminosa, formando muscovita quartzo xistos e quartzo-muscovita xistos com venulações de quartzo leitoso. Quartzo xistos não são raros.

As partes mais xistosas não raro mostram-se pintalgadas por grande quantidade de pequenos livros de mica dispersos aleatoriamente na rocha, não controlados pela foliação principal (JC-1274, JC-1191 e JC-1192). Como será visto posteriormente, estas feições são comuns em toda a área, ocorrendo indistintamente em rochas do Setuva e do "pré-Setuva".

c) Grupo Setuva, Formação Perau, unidade PIPx:-

A Formação Perau compõe-se, na área, essencialmente por mica xistos grosseiros, com quantidades variadas de quartzo. As cônus são quase sempre acinzentadas com tons prateados conferidos pelo desenvolvimento de micas nos planos de foliação. Quando alte-

rados estes xistos têm cores amareladas ou avermelhadas. A quantidade de quartzo é muito variável, proporcionando o aparecimento de muscovita quartzo xistos, quartzo xisto e, localmente, de alguns bancos de quartzitos cataclasados.

Sobretudo nas drenagens do extremo sudoeste da área, mas também em alguns pontos na parte centro-leste, estes xistos são mais cloritosos e biotíticos (JC-1227, JC-1233, JC-1212, JC-1213, JC-1219 e JC-1217), com enriquecimentos locais em carbonato (JC-.. 1233). São rochas formadas provavelmente a partir de argilas margas, ricas em Fe e Mg. Nestas rochas a biotita é, muitas vezes, uma mica tadia, com distribuição aleatória em relação à foliação principal (JC-1268 e JC-1227, amostras JC-281), porém interceptada por uma crenulação em que há recristalização dos minerais da rocha. Esta feição situaria a fase de formação destas micas em uma época mais antiga que os granitos Brasilianos, provavelmente relacionada a um metamorfismo regional em que houve uma defasagem entre a onda térmica e a onda deformacional.

Os muscovita xistos prateados são ricos em "mullions" de quartzo, proporcionando o aparecimento de aluviões com grande quantidade de seixos de quartzo leitoso. Em vários pontos (JC-1132, JC-1133, JC-1135, JC-1175, JC-1178, JC-1262, entre outros, conforme mapa geológico anexo) ocorrem blocos métricos de quartzo leitoso, maciços e composicionalmente homogêneos. Em nenhum caso constatou-se, a vista desarmada, a presença de sulfetos ou de "box-works" de sulfetos nestes blocos. São, sem dúvida, indicativos da presença de veios de quartzo de grande potência. Em ao menos um ponto (JC-1135) o quartzo leitoso aflora, mostrando-se por mais de 10 metros no leito do ribeirão das Lavras.

O veio aflorante na estrada de acesso ao címitério de Bonsucesso, logo após a estrada para o ribeirão da Lavras, tem, também, potência de no mínimo 05 metros.

d) Grupo Setuva, Formação Perau, unidade PIpsi:-

São raros os bons afloramentos nesta unidade. Nas drenagens aparecem alguns cataclasitos quartzo micáceos. Geralmente o leito da drenagem é coberto por blocos de silexito com pequenas cavidades angulosas (JC-1147, JC-1256, JC-1258, etc). Esta rocha foi identificada em afloramento no ponto JC-1158, formando um estrato de cerca de 1,0 m de espessura encaixando em mica xistos amarelados, quartzosos e cataclasados. A descrição petrográfica (amos-

tra JC-277, quadro 2) revelou uma brecha cimentada por quartzo hidrotermal, não orientado, com alguns cristais bipiramidados. Os elementos desta brecha são turmalinitos microgranulares, com microlentes de quartzo, bem orientados. Aparentemente trata-se de um hidrotermalito antigo que foi xistificado e, posteriormente, quebrado e cimentado por uma nova fase hidrotermal pós-Brasiliana. A análise para Au desta amostra resultou em um teor abaixo do limite de detecção. Notar que a amostra JC-280 (ponto JC-1172), que será descrita posteriormente, tem também turmalina, aparentemente diferente da JC-277.

Em todos os poços abertos sobre esta unidade (poços numerados de 01 a 10, vide mapa geológico) o horizonte C mostrou -se com a mesma composição, sempre um mica xisto quartzoso, cataclástico, muito venulado por quartzo. No poço nº 1 obteve-se a única amostra da área com sulfeto visível a vista desarmada. A amostra (Pl-1, 43) compõe-se de uma vênula de pirita com cerca de 10cm de comprimento dentro de quartzo englobado pelo xisto. Esta amostra analisou 680 ppm de Pb e 1,10 ppm de Au (Quadro 2).

e) Grupo "pré-Setuba", unidade PIpsgn e PIpsq:-

Esta unidade é composta quase que unicamente por gnaisses muito cataclasados devido a terem sofrido uma intensa transposição. A unidade PIpsgn engloba rochas mais silicosas, duras e micáceas que as da unidade PIpsq. Os gnaisses têm plagioclásio, microclínio, ortoclásio, quartzo, muscovita, zircão e raros opacos. São, portanto, essencialmente rochas de caráter alaskítico. Localmente, sobretudo em zonas hidrotermalizadas, aparecem a hornblenda, a apatita e a zoicita (amostra JC-279, ponto JC-1170). A exemplo das outras unidades, também os gnaisses mostram micas distribuídas aleatoriamente (amostra JC-278, ponto JC-1164), formadas posteriormente à foliação principal da rocha.

O hidrotermalismo transforma estas rochas colorindo -as de vermelho (ponto JC-1182, JC-1170) provavelmente devido ao aporte de ferro férrico. Em alguns pontos formam-se hidrotermalitos em que o quartzo e o feldspato neocristalizados englobam poiquiliticamente uma profusão de microcristais de epidoto. Nestas amostras (JC-279, ponto 1170) a hornblenda, a biotita e o esfeno formam aglomerados milimétricos que ocorrem dispersos na rocha. A hornblenda tem cor verde brilhante, sugerindo uma composição sódica. A amostra JC-280 (ponto JC-1172) é um hidrotermalito xistoso

com grânulos esféricos, com cerca de 0,5 cm de diâmetro, de turmalina azul fibroradiada. A rocha é um sericita-quartzo xisto com zircão, esfeno e apatita. Normalmente os hidrotermalitos descritos associam-se à grande falha N60E, orientada paralelamente ao contato entre os gnaisses do grupo "pré-Setuva" e os xistos do Setuva.

No extremo sudoeste da área de ocorrência dos gnaisses foram descritos blocos métricos de quartzo leitoso, idênticos àqueles da Formação Perau.

4.3 - Geologia Estrutural e Metamorfismo:-

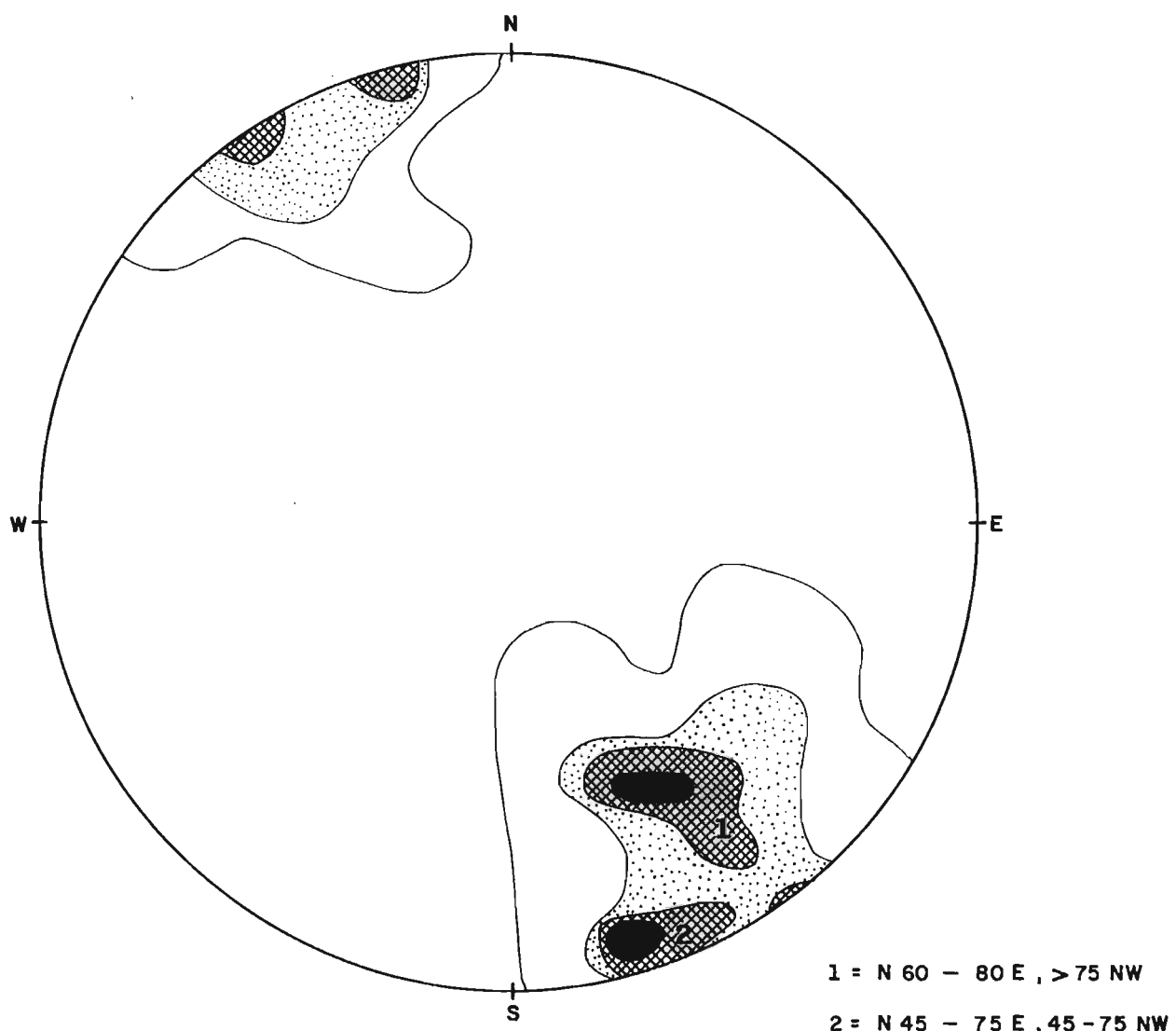
Todas as rochas da área mapeada estão metamorfisadas em grau baixo (fácies xisto verde, zona da clorita). Os gnaisses, metamorfitos de algo grau mais antigos, logicamente resistiram a esta última fase metamórfica, tendo sofrido poucas transformações. Todas as rochas foram, também, afetadas por uma transposição intensa que via de regra mascara todas as outras feições mineralógicas e texturais da rochas.

Os xistos da Perau diferenciam-se daqueles da Capiru essencialmente pela cristalinidade dos minerais de metamorfismo, além da composição. Na Perau a muscovita e, algumas vezes, a biotita são minerais normais da rocha. Na Capiru os argilo-minerais cristalizam-se em sericita, muito raramente em muscovita. O quartzo também é melhor desenvolvido na Perau que na Capiru, devido a recristalização mais intensa ocorrida durante o metamorfismo da época Setuva.

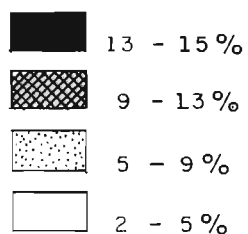
Nos gnaisses os planos de foliação devidos à transposição não raro são preenchidos por muscovita. O quartzo e os feldspatos foram estirados, alongando-se de 5 a 10 vezes em relação às suas dimensões originais. Localmente a silicificação é tão intensa que transforma os gnaisses em quartzitos.

Na área não foram descritas microdobras que pudessem sugerir o estilo geral dos dobramentos. Há dois grupos preferentes de atitudes (Quadro 2 e figura 2) mostradas pelas foliações. No campo as foliações têm sempre as mesmas características, mostrando-se paralelas ao bandamento composicional. Uma das modas principais (fig. 2) é N60-80E, com mergulhos maiores que 75° para NW. Atitudes deste tipo foram medidas quase sempre na borda noroeste da Formação Perau e na Formação Capiru. A outra moda, N45-75E, 45°-75°NW tem mergulhos menos inclinados, correspondendo às atitu-

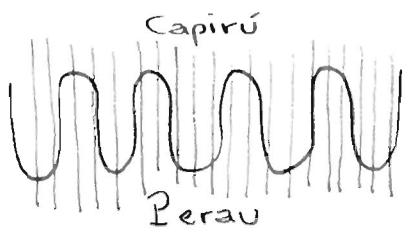
Fig. O2 - DIAGRAMA ESTRUTURAL CONTENDO AS FOLIAÇÕES MEDIDAS NA ÁREA MAPEADA DE MARQUÊS DE ABRANTES



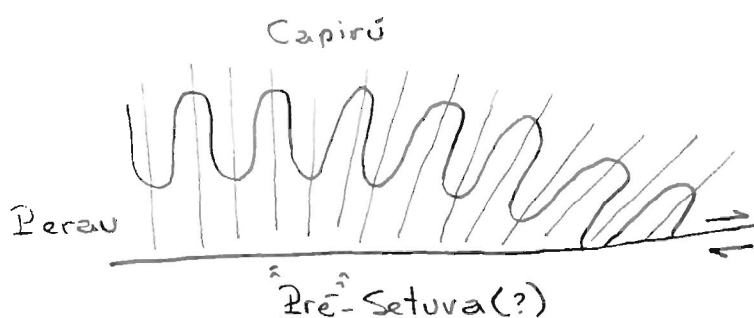
TOTAL DE 54 MEDIDAS DA FOLIAÇÃO PRINCIPAL



des encontradas na borda sudeste da Formação Perau. Há, portanto, uma diminuição gradativa do mergulho da foliação de NW para SE. Não é conhecida a causa desta mudança. Uma hipótese viável seria um megarqueamento da Formações Perau e Capiru que causaria a mudança gradual de uma foliação verticalizada (próximo ao eixo) pré existente, tornando-a menos inclinada(nos flancos do arqueamento), conforme mostrado na fig. 3.



Foliação de plano axial cruzando o contato dobrado entre Capirú e Perau, antes do arqueamento.



Inclinação da foliação em consequência de um arqueamento da sequência dobrada.

É possível, também, que as duas modas aparentes na figura 2, correspondentes à foliações semi-paralelas, sejam estruturas diferentes formadas em épocas diferentes. Uma delas seria uma foliação de plano axial e a outra uma foliação de transposição, por exemplo. Este problema resta a ser resolvido.

Devido ao dobramento cerrado e a transposição, pouco se pode dizer sobre os contatos entre as unidades litológicas descritas. A existência de lentes de xisto dentro dos gnaisses, a exemplo daquelas mapeadas no contato a leste da área, não necessariamente implicam em um contato gradacional. Caso tenha havido um hiato entre a formação das duas unidades, proporcionando o aparecimento de um contato brusco, deve ser lembrado que este plano de contato foi, também, dobrado e transposto. As lentes de xisto podem ser restos de ápices de dobras ou de lâminas de transposição preservados pela erosão. Provavelmente no local há uma discordância entre o "pré-Setuva" e o Setuva. Além da diferença no grau metamórfico das duas unidades, esta discordância é sugerida também pelo

la relação secante da unidade PIpsq, do "pré-Setuva", com a PIpsi, do Setuva (vide parte central do mapa geológico).

Menos pode ser dito sobre o contato Perau-Capiru. Neste caso há uma aparente concordância entre as atitudes das duas Formações. O contato é marcado pela mudança de composição das rochas e pelo grau de cristalinidade, que provavelmente reflete diferentes condições de metamorfismo. Nenhuma dessas características é suficiente para identificaruma discordância.

O falhamento principal da área é orientado N60-70E. É visível em foto aérea e identificado no campo pela formação de hidrotermalitos. O falhamento NW, a leste da área, é marcado pela intrusão de basaltos (JC-1242) e de microsienitos (amostra JC-284, ponto JC-1285, fora da área mapeada, ao lado do limite oeste). Este falhamento parece ser normal, com forte rebaixamento do bloco sudoeste em relação ao nordeste. Na área mapeada os gnaisses desaparecem a sudoeste desta falha, aflorando somente os xistos prateados da Perau.

A clivagem de crenulação que intercepta as micas tardias, distribuídas aleatoriamente em rochas de todas as unidades descritas, não foi medida no campo. Foi identificada sobretudo em lâmina delgada de amostras dos gnaisses encontrados nas proximidades do ponto JC-1164, junto ao contato com o Setuva, e nos xistos quartzosos da base da Capiru (JC-1192).

VI - FEIÇÕES CONTROLADORAS DAS ANOMALIAS

Os mapas de isoteores traçados sobre os resultados obtidos da amostragem de sedimento de corrente e de concentrado de bateia permitem os seguintes tipos de observações:-

- a) Avaliar a dimensão dos halos de dispersão dos elementos analisados.
- b) Deduzir a posição aproximada da zona que origina a anomalia.
- c) Correlacionar as zonas anômalas relacionadas aos elementos analisados.

A análise destas características feitas em conjunto com o mapa geológico permite algumas deduções que podem auxiliar na programação de trabalhos futuros.

6.1 - Anomalias de Ouro:-

Uma primeira dedução, óbvia a partir do exame do mapa de isoteores de ouro, concerne a dimensão dos halos de dispersão deste elemento nas drenagens. O decréscimo de teores da ordem de 400 mg/m^3 para teores de menos de 5 mg/m^3 faz-se, geralmente, em um espaço de 300-400m, as vezes em apenas 200 m. É fácil concluir, portanto, que qualquer amostragem de concentrado de bateia feita com espaçamento maior que 300 metros arrisca seriamente deixar de detectar anomalias de grandeza extra, com teores de minério rico (480 mg/m^3 , em aluvião).

A superposição do mapa de isoteores com o mapa geológico, permite várias conclusões:-

- a) Todas as anomalias importantes que foram detectadas situam-se sobre os xistos da Formação Perau, a nordeste da falha orientada NW-SE que atravessa a área no seu lado SW.
- b) O foco das anomalias, zona de mais alto teor limitado pelas curvas de isoteor, ocorrem quase sempre quando as drenagens adentram o primeiro aluvião importante do seu percurso a juntante da zona geradora da anomalia. Isto pode ser compreendido se considerarmos que estas são zonas de quebra repentina da energia de transporte das drenagens, que aí depositam a carga que transportam em todo o seu trajeto a montante. Com base nesta observação é fácil deduzir que a principal zona geradora das anomalias situa-se na área ocupada pela unidade PIpsi da Formação Perau, formada es-

sencialmente por cataclasitos.

c) Nos pontos JC-1132, JC-1133 e JC-1135 (vide mapa de pontos) há uma coicidência perfeita dos focos de anomalias de Au com mais de 100 mg/m^3 , com a presença de megablocos de quartzo leitoso (JC-1132 e JC-1133) ou com um filão "in situ" (JC-1135), conforme deduzido da superposição do mapa de isoteores de Au com o mapa geológico. Estas três anomalias são as únicas anomalias importantes da área dissociadas da unidade PIpsi. Apesar da identida de visual (à vista desarmada) destes blocos com aqueles de outros pontos sobre os xistos Perau (JC-1174, JC-1175, JC-1178, JC-1241 e JC-1262), sobre os gnaisses "pré-Setuva" (JC-1249, JC-1178 e JC-1250) ou sobre a Capiru (vide mapa geológico), não foi detectada qualquer anomalia em nenhum desses outros pontos. Para que haja certeza de que sejam os veios de quartzo as feições geradoras das anomalias, torna-se necessário um exame "in loco" dos veios "anômalos" e a coleta de amostras dos veios e das encaixantes. Caso a análise destas amostras resultem em teores interessantes, recomenda-se o mesmo procedimento para todos os outros veios mencionados.

d) Há uma total dissociação entre a região anômala para Au e as concentrações elevadas de minerais pesados. A zona ocupada pelo conjunto das anomalias de Au cobre a região com as menores concentrações de minerais pesados, em grama por litro de cascalho, conhecidas na área (vide superposição do mapa de isoteores de Au com o de isoteores de minerais pesados). Isto permite deduzir que as zonas geradoras de Au não têm rochas básicas-ultrabásicas, conforme a maioria das ocorrências conhecidas em regiões de idades Proterozóicas e Arqueanas, não relacionadas a granitos.

6.2 - Anomalias de Chumbo

a) A melhor anomalia de chumbo da área (amostras de sedimento de corrente NG-1063 e NG-1065, ambas com 110 ppm) está em uma drenagem que corre controlada pelo contato entre os gnaisses do "pré-Setuva" e os xistos do Setuva e os xistos do Setuva.

b) O conjunto das anomalias de chumbo formam uma zona que se superpõe, a exemplo do ouro, com a zona de ocorrência da unidade PIpsi. Notar que parece haver um controle rigoroso das anomalias de Pb, que ocupam uma área com forma alongada e estreita que segue acompanhando aproximadamente o eixo mediano da zona de ocorrência desta unidade. Isto sugere que a zona geradora das anomalias

lias seja uma estrutura linear como um contato, uma camada, uma f_alha ou um conjunto de veios alinhados.

c) Também a exemplo do ouro, há uma total dissociação entre a zona anômala para Pb e as zonas com altas concentrações de minerais pesados.

d) O halo anômalo do Pb em sedimento de corrente na área é de cerca de 500 metros. No geral, a partir do foco da anomalia, nesta distância os teores se reduzem a metade. Na área o espaçamento da amostragem foi de 100m ou de 250m, o que é suficiente para detectar as principais anomalias existentes na região amostrada.

A coicidênci^a da zona geradora das anomalias de Au e de Pb sugere a existênci^a de um fenômeno genético comum aos dois elementos. Caso isto seja correto, é possível qie o Au e o Pb da região originem-se em filões mesotermais dos tipos Au (Ag, Pb, Bi) ou Au (Sb, As, Cu, Zn, Pb, Bi, Ag). Os baixos teores de As obtidos nas amostras dos poços diminuem a probabilidade de ocorrênci^a do segundo tipo de filão. A análise de Ag, Bi e Sb das amostras dos poços poderá encaminhar uma solução para este problema e, talvez, determinar um tracejador para o ouro, no caso de uma amostragem de solo em malha.
onde haverá ocorrência definida??

VII - CONCLUSÕES

a) As drenagens que alimentam os grande aluviões ao norte do alvo, nas bacias dos rios São João e Bom Sucesso, são totalmente desprovidas de ouro, o que permite concluir ser desinteressante a pesquisa de ouro nestes aluviões.

b) As micas com distribuição aleatória ocorrem indistintamente em todas as unidades da área. Há ótimas evidências que mostram que estas micas são posteriores à foliação principal e mais antigas que uma clivagem de crenulação bem formada, muito visível em alguns lugares da área. Esta observação permite dissociar a formação destas micas da intrusão de granitos Brasilianos. Possivelmente sejam formadas regionalmente, durante uma fase metamórfica dinamo-termal em que tenha ocorrido uma defasagem entre a onda térmica e a onda compressional.

c) Os xistos metassílticos do Capirú caracterizam -se por conterem grande quantidade de minerais pesados, gerando aluvões com mais de 10g de pesados por litros de cascalho. As outras unidades contêm, na área, índices geralmente próximos de 1-2 gr/l.

d) Parece haver uma discordância angular e metamórfica entre os gnaisses do Grupo "pré-Setuva" e os xistos do Setuva. O redobramento e a transposição não permitem, nas condições atuais de conhecimento, definir o tipo de contato entre a Formação Perau e a Capiru.

e) Na área nota-se uma variação gradativa da inclinação das foliações das rochas. As foliações são verticalizadas na metade noroeste da área, tornando-se gradativamente menos inclinadas para sudeste. Isto poderia ser explicado pelo arqueamento das unidades após a formação das foliações. *imperfeitas*

f) O halo de dispersão de concentrações de mais de 400 mg/m³ de Au para menos de 5mg/m³ raramente excede 300 metros. Qualquer amostragem de concentrado de bateia feita com espaçamento maior que 300 m arrisca seriamente deixar de detectar anomalias de grandeza extra, com teores de minério rico em aluvião (480 mg/m³).

g) Todas as anomalias importantes de Au situam-se sobre os xistos da Formação Perau, a NE da falha NW-SE que atravessa a área no seu canto SW.

h) As anomalias normalmente ocorrem no momento em que há uma quebra de energia das drenagens quando elas adentram um aluvião de maior dimensão.

i) A principal zona geradora das anomalias de Au e Pb situa-se na área ocupada pela unidade PIpsi, da Formação Perau, formada essencialmente por cataclasitos.

j) Há uma coicidência perfeita de focos anômalos de ouro, com mais de 100 mg/m³, com veios de quartzo do Ribeirão Araras. Veios visualmente idênticos (à vista desarmada) reconhecidos em outros locais não se revelaram anômalos.

k) A dissociação da região que contém as anomalias de ouro das zonas com altos teores de minerais pesados (vide superposição dos mapas de isoteores de Au com o de minerais pesados) permite deduzir que a área fonte do Au não se associa à rochas básicas-ultrabásicas, como é normal em outras regiões Proterozóicas des providas de granitos.

l) A melhor anomalia de Pb da área associa-se a uma drenagem que corre sobre o contato entre os xistos da Perau e os

gnaisses do "pré-Setuva".

m) A forma longa, estreita e contínua da zona ocupada pelo conjunto das anomalias de Pb sugere que a área fonte seja uma estrutura linear, tal como um contato, uma falha, uma cama da ou um conjunto de veios alinhados.

n) No geral, a partir da área fonte os teores de Pb em sedimento de corrente se reduzem a metade no espaço de 500 metros. A "malha" de 250 metros usada na amostragem é portanto suficiente para detectar as principais anomalias da região amostrada.

o) A coincidência das zonas geradoras das anomalias de Au e de Pb sugere uma origem comum para estes elementos. Caso isto seja correto, é possível que estes elementos se relacionem a filões mesotermais dos tipos Au(Ag, Pb, Bi) ou Au (Sb, As, Cu, Zn, Pb, Bi, Ag). Os baixos teores de As obtidos nas amostras dos poços diminuem a probabilidade de ocorrências do segundo tipo de filão.

p) A análise de Ag, Bi e Sb nas amostras de solo nos poços poderão permitir determinar o tipo de depósito que se pode esperar na área e obter um tracejador para o Au, caso se opte pela realização de uma amostragem sistemática de solo na zona anômala.

VIII - RECOMENDAÇÕES

a) Fazer acordos escritos com as Reflorestadoras Rebrasa e Invest, os maiores superficiários da região do Marquês de Abrantes.

b) As drenagens onde foram coletados concentrados de bateia a cada 500 metros e que mostraram alguma amostra anômala(.. mais que 10 mg/m³ de Au) devem ser reamostradas com coleta de concentrado de bateia a cada 100 metros. (vide, por exemplo, a drenagem onde foi coletado o concentrado NG-1302).

c) Os veios de quartzo dos pontos JC-1132, JC-1133 e JC-1135 devem ser amostrados sistematicamente com amostras lineares de um metro (tipo "chip-sample"), juntamente com suas encaixantes. Caso as análises revelam teores interessantes, procedimento idêntico deve ser adotado em relação a todos os outros veios mapeados na área.

d) As amostras de solo dos poços devem ser analisadas para Ag, Bi e Sb. Conforme os teores obtidos será possível determinar o tipo de depósito que pode ser esperado na área e obter um tracejador para o ouro, para o caso de se optar por uma amostra

gem sistemática de solo nas áreas anômalas.

e) Todos os aluviões com uma ou mais amostras com teores acima de 20 mg/m^3 de Au devem ser pesquisados por poços, abertos em malha regular. A dimensão desta malha deve ser determinada experimentalmente, em cada local.

f) Na análise estatística dos dados geoquímicos de Au, os aluviões devem ser considerados como uma unidade geológica à parte, independente da litologia sobre a qual se situa rem. Isto se justifica devido ao poder de concentração do Au mostrado pelos aluviões, que forçosamente conduz à formação de uma população de teores diferente de qualquer das outras unidades. Esta população, com teores muito elevados, se misturada com a da litologia sobre a qual se encontra o aluvião irá falsear os dados estatísticos e dificultar a localização de uma possível fonte primária da mineralização.

g) Torna-se necessário determinar uma outra técnica para a prospecção regional de Au, que não o concentrado de bateia.

Curitiba, 11 de julho de 1985.


JOÃO CARLOS BIONDI

PROJETO Marques do Abaíntes PONTO N.º JC-1158 AMOSTRA N.º JC-277 DATA 15/04/85
PROCEDÊNCIA Trilhado Rio da Lavra TIPO DE AMOSTRA de mato
COLETOR J.C. Biondi QUADRÍCULA
FOLHA GEOLÓGICA

F1 F2

DESCRIÇÃO DE AFLORAMENTO Esta rocha forma uma faixa (veio?) em meio a muscovita xistos. Quando alterada esta rocha mostra reúnitos "box-warks" facetados.

Solicitar:

- a. Identificar minerais da rocha
- b. A rocha é um cataclastito originado sobre qual rocha primária?
- c. Poderia ser produto da substituição de uma rocha carbonatada?

DESCRIÇÃO MACROSCÓPICA

Cor Cinza

Granulação Fina

Textura Maciça

Estrutura Cataclástica

Grau de intemperismo Fraco

Ataque HCl

Minerais identificados Quartzo

Classificação Cataclasto silicificado (?)

DESCRIÇÃO MICROSCÓPICA

A) Textura

B) Granulação: Em rocha aproximadamente equigranular

Em rocha Inequigranular; Matriz ou base

C) Composição modal (% vol.): Estimada visualmente

Calculada

Mineral	%	Mineral	%
1) quartzo	11)
2) turmalina	12)
3) sericitá (raios)	13)
4) opacos (raios)	14)
5)	15)
6)	16)
7)	17)
8)	18)
9)	19)
10)	20)

D) Descrição dos Minerais e Relações Texturais

Rocha essencialmente constituída por quartzo e turmalina, afetada por catálase e hidrotermalismo.

O quartzo mostra-se isolado ou forma cristais com terminação que tendem a bipyramidal, evidenciando um processo de recristalização hidrotermal.

A turmalina exibe contornos irregulares ou subídicos. Em geral, constitui uma massa microcristalina, ainda informe, englobando cristais de quartzo.

A composição mineralógica da rocha sugere tratar-se de um veio de quartzo catáclasedo e hidrotermalizado.

Brecha hidrotermalizada com fragmentos compostos essencialmente por ~~dorito~~^{turmalina} (antiga rocha carbonatada) e matriz de quartzo recristalizado e, em alguns casos, bipyramidalizado

Porela de rocha carbonática hidrotermalizada ou veio de turmalina
veio de quartzo catáclasedo e hidrotermalizado hidratado e silicificado

E) Classificação

Data 20/05/85 Analista Rosa Maria

PROJETO Marques do Abrantes PONTO N.º JC-1164 AMOSTRA N.º JC-273 DATA 15/04/85
PROCÉDENCIA Rio da Barra (afluente) TIPO DE AMOSTRA de mato.
COLETOR J.C. Bioundi QUADRÍCULA
FOLHA GEOLÓGICA

F 1 F 2

DESCRIÇÃO DE AFLORAMENTO Pequena cachoeira muito próxima a uma grande falha. A região é de contato entre uma sequência de rochas (Form. Paraná) e uma sequência de granitos e gneises (pré-Setúva).

Solicita-se:

- a. Identificação dos minerais
- b. Classificação da rocha atual e antiga.

DESCRIÇÃO MACROSCÓPICA

Cor Esbranquiçada

Granulação Fina

Textura Cataclástica

Estrutura Brechada

Grau de Intemperismo Fraco a médio

Ataque HCl

Minerais Identificados Quatzo, feldopato

Classificação Cataclasto formado sobre granito-alaskítico (?)

DESCRIÇÃO MICROSCÓPICA

A) Textura

B) Granulação: Em Rocha aproximadamente equigranular

Em rocha Inequigranular: Matriz ou base

C) Composição modal (% vol.): Estimada visualmente

Calculada

Mineral	%	Mineral	%
1) plagioclásio	11)
2) mica clínica	12)
3) ortoclásio	13)
4) quartzo	14)
5) sericitita	15)
6) muscovita	16)
7) zircão	17)
8) ópacos	18)
9)	19)
10)	20)

D) Descrição dos Minerais e Relações Texturais

Traça-se de uma rocha de composição granítica afetada por metamorfismo dinâmico e hidrotermalismo evidenciado pela sericitização dos feldspatos.

A muscovita é claramente posterior ao quartzo, pertencendo a uma fase mineral associada à catadase.

E) Classificação Bataclásito de granito alaskítico

Data 25/05/85

Analista Rosa M. Viana

PROJETO Marques do Almante PONTO N.º JC-1170 AMOSTRA N.º JC-279 DATA 15/04/85
PROCECÊNCIA Ribeirão da Barra TIPO DE AMOSTRA de mato
COLETOR J. C. Biondoni QUADRÍCULA
FOLHA GEOLÓGICA

F1 F2

Descrição de afloramento Cachoeira sobre rochas granítoides catadasadas. A região é de catadasados transportados do pré-Setúva. Neste ponto a granitoide torna-se vermelha, com bandas de largura métrica de cor verde.

Solicita-se:

- a. Identificar os minerais da rocha
- b. Classificar a rocha, verificando evidências de hidrotermalismo.

Descrição Macroscópica

Cor Verde

Granulação Fina

Textura Xistosa

Estrutura Cataclástica

Grau de intemperismo Fraco a nulo

Ataque HCl

Minerais identificados Muscovita, biotita (?), clorita (?), feldspato K.

Classificação Cataclásito quâimico hidrotermalizado?

Descrição Microscópica

A) Textura

B) Granulação: Em rocha aproximadamente equigranular

Em rocha inequigranular Matriz ou base

) Composição modal (% vol.): Estimada visualmente

Calculada

Mineral	%	Mineral	%
1) plagioclásio	—	11) opacos	—
2) micaclino	—	12)	—
3) quartzo	—	13)	—
4) epidoto	—	14)	—
5) zoisita	—	15)	—
6) biotita	—	16)	—
7) hornblenda	—	17)	—
8) titanita	—	18)	—
9) apatita	—	19)	—
0) zircão	—	20)	—

) Descrição dos Minerais e Relações Texturais

A amostra exibe duas porções distintas: 1º) a primeira, representa parte da rocha granítica original, cuja textura é granular hipidiomórfica com leves sinais de cataclase; 2º) a segunda, representa o granito fortemente hidrotermalizado, cujo evento é evidenciado pela intensa saussuritização dos feldspatos e recristalização dos máficos.

A parte máfica tem textura poiquilitica com grandes cristais de apatite e feldspato que contém uma profusão de cristais de epidoto.

A hornblenda, a biotita e o esfero forma aglomerados de grande minerais, evidenciando uma cristalização tardia. A cor da hornblenda é verde garrafa (sódica?)

As partes claras da rocha são alarquíticos, sem máficos. O contato claro-escuras é relativamente brusco mas muito irregular, com minerais que avançam parte à parte.

O alarquito parece ser uma fase mais recente (?)

E) Classificação

Granito hidrotermalizado

Data: 21/05/85

Analista: Roda Maria

PROJETO Marquês do Abrantes PONTO N.º JC-1172 AMOSTRA N.º JC-280 DATA 15/04/85
PROCEDÊNCIA Rib. da Barra (afluente) TIPO DE AMOSTRA de mão
COLETOR J.C. Boisduval QUADRÍCULA
FOLHA GEOLÓGICA

F1 F2

DESCRÍÇÃO DE AFLORAMENTO Afloramento em encosta de drenagem. Megablocos adensados de rocha bem foliada com nódulos fibro-radiados de mineral negro. A região é de cataselitos graníticos, próximo a uma grande falha de dimensões regionais.

Solicita-se:

- a. Identificação dos minerais
- b. Classificação da rocha atual e antiga.

DESCRÍÇÃO MACROSCÓPICA

Cor. Esbranquiçada

Granulação fina, com nódulos negros milimétricos

Textura Xistosa

Estrutura Foliada

Grau de intemperismo Fraco

Ataque HCl

Minerais identificados Quartzo, muscovita, nódulos fibro-radiados de actinolita(?)

Classificação Metarilito?

DESCRÍÇÃO MICROSCÓPICA

A) Textura

B) Granulação: Em rocha aproximadamente equigranular

Em rocha inequigranular: Matriz ou base

C) Composição modal (% vol.): Estimada visualmente

Calculada

Mineral	%	Mineral	%
1) quartzo	45	11)	
2) sericita	45	12)	
3) turmalina (elharta)	10	13)	
4) zircão	pr	14)	
5) titanita	pr	15)	
6) opálica	pr	16)	
7) opacos.	pr	17)	
8)		18)	
9)		19)	
10)		20)	

D) Descrição dos Minerais e Relações Texturais

Traça-se de uma rocha de origem plástica que foi submetida a metamorfismo regional de grau fraco e, posteriormente, cataclase e evento térmal, superimpostos.

O evento térmal é caracterizado pela formação de turmalina que constitui nódulos fibro-radiados, assim como pela presença de nódulos irregulares de quartzo recristalizado.

A foliação contorna a turmalina agul, claramente ~~pré~~-cine-mática. (Variedade agul seria cupífera)

E) Classificação Sericita xisto hidrotermalizado e cataclorado

Data 20/05/85

Analista Rosa Maia

PROJETO Marques do Abrantes PONTO N.º JC-1227 AMOSTRA N.º JC-281 DATA 15/04/86

PROCEDÊNCIA Corregos Portão

TIPO DE AMOSTRA de mão

COLETOR J.C. Biondi

QUADRÍCULA

FOLHA GEOLÓGICA

F1 F2

Descrição de afloramento Afloramento em lento de drenagem. Há uma intercalação desta rocha em meio a uma sequência espessa de mureta xistos plateados.

Solicitação:

- a. Identificação dos minerais
- b. Classificação da rocha atual e antiga

DESCRÍÇÃO MACROSCÓPICA

Cor Cinza escura

Granulação Fina

Textura Xistosa

Estrutura Pouco foliada

Grau de intemperismo Fraco a nulo

Ataque HCl

Minerais identificados Biotita, quartzo

Classificação Quartzo-biotita xisto.

DESCRÍÇÃO MICROSCÓPICA

A) Textura porfiroblástica e granoflepidoblástica

B) Granulação: Em rocha aproximadamente equigranular

Em rocha inequigranular:

Matriz ou base

Liso

C) Composição modal (% vol.): Estimada visualmente

Calculada

Mineral	%
1) quartzo	—
2) biotita	—
3) clorita	—
4) sericita	—
5) turmalina	—
6) apatita (muito rara)	—
7) opacos	—
8)	—
9)	—
10)	—

Mineral	%
11)	—
12)	—
13)	—
14)	—
15)	—
16)	—
17)	—
18)	—
19)	—
20)	—

D) Descrição dos Minerais e Relações Texturais

Trata-se de uma rocha metática afetada por metamorfismo regional de grau fraco, cataclase (microdóbias, microfissuras, cissamentos dos minerais) e evento tectônico superimposto (porfirólitos de biotita).

Dois foliações evidentes, uma xistosidade com
divisão de crenulações.

!! | A biotita é posterior à xistosidade mas claramente afetada
pela divisão de crenulações (muitas belas figuras).

(posterior ao metamorfismo principal.

E) Classificação Sericita-clorita-(biotita) xisto

Data 17/05/85

Analista

Rosa Maria

PROJETO Marquês do Abrantes PONTO N.º JC-1233 AMOSTRA N.º JC-222 DATA 15/04/85
PROCEDÊNCIA Correia do Portão TIPO DE AMOSTRA de mato
COLETOR J.C. Biordi QUADRÍCULA
FOLHA GEOLÓGICA

F1 F2

DESCRÍÇÃO DE AFLORAMENTO Grande cachoeira de sítios. Aparentemente esta é a rocha regional representativa da Formação Perau. Contém muitos "milles" de quartzo leitoso. É venulada por veios de quartzo de espessuras métricas.

Solicita-se:

- a. Identificação dos minerais
- b. Classificação da rocha atual e antiga

DESCRÍÇÃO MACROSCÓPICA

Cor Cinza negra

Granulação Fina

Textura Xistosa

Estrutura Foliada

Grau de intemperismo Nulo

Ataque HCl

Minerais identificados Quartzo, muscovita, biotita(?)

Classificação Quartzo-muscovita mato

DESCRÍÇÃO MICROSCÓPICA

A) Textura

B) Granulação: Em Rocha aproximadamente equigranular

Em rocha ineqüigranular: Matriz ou base

a) Composição modal (% vol.): Estimada visualmente

Calculada

Mineral %

- 1) quartzo
- 2) plagioclálio
- 3) seicita
- 4) biotita
- 5) carbonato
- 6) clorita
- 7) granada
- 8) turmalina
- 9) apatita
- 10) opacos

Mineral %

- 11)
- 12)
- 13)
- 14)
- 15)
- 16)
- 17)
- 18)
- 19)
- 20)

b) Descrição dos Minerais e Relações Texturais

Traça-se de uma rocha de composição magmática afetada por metamorfismo regional de grau fraco e evento térmico superimposto, evidenciado pela presença de porfiroblastos de biotita e granada, pós-tectônicos.

Parece haver duas biotitas

- a. Que faz parte, constituinte da rocha
b. Os macrocristais aleatórios, posteriores à histridade

c) Classificação Biotita - calho - seicita - biotita zístico feldespáctico

Data 17 / 05 / 85

Analista Rosa Maria

PROJETO Marquês do Abrantes PONTO N.º JC-124A AMOSTRA N.º JC-283 DATA 15/04/85
PROCEDÊNCIA Afuente do Boncucense TIPO DE AMOSTRA de mato
COLETOR J. C. Poiondi QUADRÍCULA
FOLHA GEOLÓGICA

F1 F2

DESCRIÇÃO DE AFLORAMENTO Afloramento em leito de drenagem. A sequência é de muscovita xisto com intercalações de quartzo.

Selicidade:

- a. Identificação dos minerais
- b. Classificação da rocha atual e antiga.

DESCRIÇÃO MACROSCÓPICA

Cor Angra

Granulação Fina

Textura Xistosa

Estrutura Foliada

Grau de intemperismo Fraco

Ataque HCl

Minerais identificados Nódulos de biotita, muscovita, quartzo.

Classificação Xisto carbonatado(?) com nódulos de biotita?

DESCRIÇÃO MICROSCÓPICA

A) Textura

B) Granulação: Em Rocha aproximadamente equigranular

Em rocha inequigranular Matriz ou base

C) Composição modal (% vol.): Estimada visualmente

Calculada

Mineral	%	Mineral	%
1) quartzo	—	11)	—
2) plagioclase	—	12)	—
3) sericit	—	13)	—
4) biotita	—	14)	—
5) clorita	—	15)	—
6) apatita	—	16)	—
7) turmalina	—	17)	—
8) óxidos	—	18)	—
9)	—	19)	—
10)	—	20)	—

D) Descrição dos Minerais e Relações Texturais

Trata-se de uma rocha de origem plástica afetada por metamorfismo regional de grau fraco, cataclase e metamorfismo termal evidenciado pela formação de porfioblastos de biotita, pós-tectônicos.

E) Classificação Biotita-sericit xistó feldspátrio

Data 17 / 05 / 85

Analista Rosa Maia

PROJETO Marquês do Alvarado PONTO N.º JC-1285 AMOSTRA N.º JC-284 DATA 15/04/25
PROCEDÊNCIA Ilha do Belga TIPO DE AMOSTRA de mão
COLETOR J.C. Biondi QUADRÍCULA
FOLHA GEOLOGICA

F1 F2

DESCRÍÇÃO DE AFLORAMENTO Afloramento em uma trilha. Esta rocha parece formar um dique que se anexa a um grande dique de basalto. A rocha tem sulfatos e parece ser de caráter alcalino.

Solicita-se:

- a. Identificar minerais da rocha
- b. Clasificar a rocha.

DESCRÍÇÃO MACROSCÓPICA

Cor Cinza esbranquiçada

Granulação Fina

Textura Granular

Estrutura Macia

Grau de Intemperismo Fraco a nulo

Ataque HCl

Minerais identificados Pirita (?), feldspato (?)

Classificação Microsssienito (?)

DESCRÍÇÃO MICROSCÓPICA

A) Textura

B) Granulação: Em Rocha aproximadamente equigranular

Em rocha Inequigranular: Matriz ou base

C) Composição modal (% vol.): Estimada visualmente

Calculada

Mineral

%

Mineral

%

- 1) plagiocláio
- 2) quartzo
- 3) biotita
- 4) ópacos

5)
6)

11)

12)

13)

14)

15)

escalação dos Minerais na fisionomia Textural

E) Classificação: Monossienito

Data 17 05 85

Analista

Rosa Maria



CLIENTE: Minerais do Paraná S.A. MINEROPAR Setor: GEOP
Área : Marques de Abrantes

PEDIDO: Determinação de Au por Absorção Atômica - ataque com bromo, extração com MIBK em amostras de concentrado de bateia. (S/Ref.: MEMO 45/85)
(N/Ref.: 69/029-5)

AMOSTRAS nºs	Conc. (gr)	Au ppm	Mg/m ³ gr.conc	AMOSTRAS nºs	Conc. (gr)	Au ppm	Mg/m ³ gr.conc		
NG - 752	886,44	0,15	6,6	44,3	NG - 795	16,68	13,10	10,9	0,8
755	101,38	6,25	31,7	5,1	797	15,99	6,10	4,9	0,8
757	26,78	0,17	0,2	1,3	799	14,08	55,80	39,3	0,7
758	17,18	22,87	19,6	0,9	* 801	16,38	131,04	107,3	0,8
760	31,08	10,42	16,2	1,5	803	22,98	45,70	53,6	1,1
762	14,78	27,51	20,3	0,7	* 805	15,58	178,07	138,7	0,8
764	20,28	10,98	11,1	1,0	807	21,08	20,59	21,7	1,0
766	34,59	27,52	47,6	1,7	809	28,88	13,11	18,9	1,4
768	20,88	3,80	4,0	1,0	812	19,08	18,60	17,7	0,9
772	15,49	41,83	32,4	0,8	814	11,19	21,86	12,2	0,6
773	13,08	18,58	12,1	0,6	* 816	38,68	76,78	148,5	1,9
775	18,58	5,33	4,9	0,9	818	17,28	1,56	1,3	0,9
777	28,38	0,15	0,2	1,4	822	20,08	23,57	23,7	1,0
779	310,48	0,25	1,4	5,5	823	3,78	12,09	5,9	0,5
782	27,68	1,30	1,8	1,4	825	40,88	15,70	32,1	2,0
784	18,58	34,87	32,4	0,9	826	27,48	47,37	65,1	1,4
786	23,78	4,67	5,5	1,2	828	16,18	1,56	1,3	0,8
788	16,38	7,14	5,8	0,8	832	20,58	14,57	15,0	1,0
792	19,38	25,08	24,3	1,0	833	20,08	33,40	33,5	1,0
NG - 793	18,38	40,98	37,7	0,9	NG - 835	10,98	50,30	27,6	0,5

Belo Horizonte, 20 de junho de 1985.

W. J. C. de Souza
Marechal e Engenheiro Cavalcanti

CQH N.º 02300278

REC.

Análises geoquímicas e ensaios químicos para minérios, solos, rochas e águas
Espectrografia Ótica, Plasma ICP, Absorção Atômica, Fluorescência de Raios X e Vila Óptica.

Laboratório em Belo Horizonte, MG - Rua Almirante, 200 - Telefone (031) 221-5566 - Telex (031) 1786 - Reg. no CRQ-II n.º 2036



GEOLAB

DIVISÃO DE LABORATÓRIOS DA
GEOSOL - Geologia e Sondagens Ltda.

BOLETIM DE ANÁLISE

N.º 56.797/798

CLIENTE : Minerais do Paraná S.A. MINEROPAR

Setor: GEOP

Área : Marques Abrantes

PEDIDO : Determinação de Au por Absorção Atômica - ataque com bromo, extração com MIBK em amostras de concentrado de bateia.

(S/Ref.: MEMO 45/85)

(N/Ref.: 69/029-5)

AMOSTRAS nºs	Conc. (gr)	Au ppm	Mg/l m ³	gr conc./l	AMOSTRAS nºs	Conc. (gr)	Au ppm	Mg/l m ³	gr conc./l
NG - 837	38,38	1,51	2,9	1,9	NG - 880	72,68	0,48	1,7	3,6
839	20,98	32,16	33,7	1,0	882	470,08	0,07	1,6	23,5
841	16,28	3,68	3,0	0,8	884	181,08	< 0,05	-	9,1
843	45,48	3,47	7,9	2,3	886	22,08	< 0,05	-	1,1
*845	35,48	68,49	121,5	1,8	888	19,08	0,08	0,1	1,0
847	25,38	7,77	9,9	1,3	892	25,68	14,03	18,0	1,3
849	21,68	1,52	1,6	1,1	893	24,88	3,68	4,6	1,2
852	16,58	1,81	1,5	0,8	895	35,58	4,55	8,1	1,8
854	16,68	0,09	0,1	0,8	897	24,58	5,49	6,7	1,2
856	27,88	2,55	3,5	1,4	899	12,88	19,81	12,7	0,6
858	36,28	0,33	0,6	1,8	902	23,88	9,32	11,1	1,2
862	32,58	2,07	3,4	1,6	904	8,58	5,77	2,5	0,4
863	10,88	0,14	0,1	0,5	906	14,88	38,65	28,7	0,7
865	21,18	0,26	0,3	1,1	908	22,08	30,26	33,4	1,1
867	38,78	0,36	0,7	1,9	912	16,68	10,68	8,9	0,8
869	18,38	< 0,05	-	0,9	913	13,08	20,43	13,4	0,7
872	11,08	14,60	8,1	0,6	915	11,58	9,20	5,3	0,6
874	46,68	0,34	0,8	2,3	917	15,38	14,74	11,3	0,8
876	120,98	0,05	0,3	6,0	919	17,88	52,10	46,6	0,9
NG - 878	19,39	3,25	3,1	1,0	NG - 921	22,88	5,05	5,8	1,1

Belo Horizonte, 20 de junho de 1985.

W. C. Ferreira
Analista de Minérios Cavalcanti

CRC-H-12 02300278

CRC.

Analises geoquímicas e ensaios químicos para minérios, solos, rochas e águas
Espectrografia Ótica, Plasma ICP, Absorção Atômica, Fluorescência de Ratos X e Vía Úmida.

Laboratório em Belo Horizonte MG - Rue Almores 200 - Telefone (031) 221-5566 - Telex (031) 1786 - Reg. no CRC-II n.º 2036



GEOLAB

DIVISÃO DE LABORATÓRIOS DA
GEOSOL - Geologia e Sondagens Ltda.

BOLETIM DE ANÁLISE

N.º 56.799/800

CLIENTE: Minerais do Paraná S.A. MINEROPAR

Setor: GEOP

Área: Marques Abrantes

PEDIDO: Determinação de Au por Absorção Atômica - ataque com bromo, extração com MIBK em amostras de concentrado de bateia.

(S/Ref.: MEMO 45/85)

(N/Ref.: 69/029-5)

AMOSTRAS	Conc (gr)	Au ppm	Mg/m ³	gr.conc/l	AMOSTRAS	Conc (gr)	Au ppm	Mg/m ³	gr conc/l
nºs					nºs				
NG - 923	14,58	26,51	19,3	0,7	*NG - 966	10,78	892,29	480,9	0,5
925	10,88	32,63	17,7	0,5	968	16,58	36,15	30,0	0,8
927	8,58	0,35	0,1	0,4	972	13,88	2,16	1,5	0,7
928	14,58	155,57	113,4	0,7	973	38,18	1,45	2,8	1,9
932	12,18	6,40	3,9	0,6	975	22,68	2,91	3,3	1,1
933	28,58	17,40	20,5	1,2	977	14,28	11,06	7,9	0,7
935	16,18	5,75	4,6	0,8	979	12,48	3,72	2,3	0,6
937	24,28	1,85	2,2	1,2	982	15,88	18,10	14,4	0,8
942	22,38	57,90	64,8	1,2	984	11,28	< 0,05	—	0,6
943	33,58	9,87	16,6	1,7	986	26,58	1,13	1,5	1,3
945	17,58	0,68	0,6	0,9	988	9,39	0,16	0,1	0,5
947	19,08	1,95	4,7	1,0	992	16,98	0,18	0,1	0,8
949	15,58	0,96	0,7	0,8	993	16,98	3,53	3,0	0,8
952	14,28	1,47	1,0	0,7	995	9,28	0,81	0,4	0,5
954	13,28	5,76	3,8	0,7	997	12,58	16,42	10,3	0,6
956	14,79	0,71	0,5	0,7	999	8,18	0,18	0,1	0,4
958	15,58	5,74	4,5	0,8	1001	17,68	2,63	2,3	0,9
960	21,98	23,69	26,0	1,1	1003	12,48	0,12	0,1	0,6
962	14,38	32,92	23,7	0,7	1005	19,08	0,55	0,5	1,0
NG - 964	12,38	75,21	46,6	0,6	NG - 1007	17,19	0,17	0,1	0,9

Belo Horizonte, 20 de junho de 1985.

Marcus Fábio da Cavalcanti

CRQ - N.º 02300273

CBC.

Análises geoquímicas e ensaios químicos para minérios, solos, rochas e águas
 Espectrografia Ótica, Plasma ICP, Absorção Atômica, Fluorescência de Raios X e Vía Úmida.

Laboratório em Belo Horizonte, MG - Rua Almeida, 200 - Telefone (031) 221 5566 - Telex (031) 1756 - Reg. no CRQ-II n.º 2036

N.º 56.801/802

CLIENTE: Minerais do Paraná S.A. MINEROPAR

Setor: GEOP

Área : Marques de Abrantes

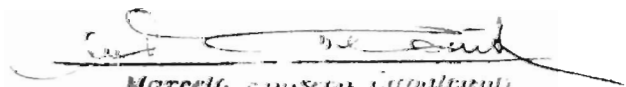
PESSOAS: Determinação de Au por Absorção Atômica - ataque com bromo, extração com MIBK em amostras de concentrado.

(S/Ref.: MEMO 45/85)

(N/Ref.: 69/029-5)

AMOSTRAS	Conc. nºs	Conc. (gr)	Au ppm	Mg/m ³	gr conc/10	AMOSTRAS	Conc. nºs	Conc. (gr)	Au ppm	Mg/m ³	gr conc
NG - 1012	3139	2,23	1,3	0,6		NG - 1057	31,88	0,75	1,2	1,6	
1013	888	1,69	0,7	0,4		1059	12,98	2,20	1,4	0,6	
1015	14,28	23,48	16,8	0,7		1062	15,38	9,74	9,5	0,8	
1017	44,08	5,28	11,6	2,2		1064	24,18	5,08	6,1	1,2	
1022	9,38	0,16	0,1	0,5		1066	27,58	1,52	2,1	1,4	
1023	23,68	7,33	8,7	1,2		1068	21,58	0,14	0,1	1,1	
1026	78,08	1,03	4,0	3,9		1072	22,38	4,89	5,5	1,1	
1029	14,59	1,03	0,7	0,7		1073	54,08	0,42	1,1	2,7	
1032	28,68	1,55	20,2	10,9		1075	44,98	3,15	7,1	2,2	
1034	42,78 < 0,05	—	—	2,1		1077	89,28	1,66	7,4	4,5	
1036	24,88 < 0,05	—	—	1,2		1079	30,88	1,17	1,8	1,5	
1039	12,38	1,33	0,8	0,6		1082	16,58	5,88	4,9	0,8	
1042	21,48	1,74	1,9	1,1		1084	42,88	2,57	5,5	2,1	
1044	16,98	13,59	15,8	0,8		1086	15,58	0,91	5,2	5,8	
1046	42,48	0,92	1,9	2,1		1088	12,28	2,81	1,7	0,6	
1048	10,68 < 0,05	—	—	0,5		1092	18,98	0,24	0,2	0,9	
1052	17,99	3,83	3,4	0,9		1093	13,88	0,22	0,1	0,7	
1053	15,28	3,83	2,9	0,8		1095	10,38	5,78	3,0	0,5	
NG - 1055	31,38	2,24	1,3	0,6		1097	15,88	3,87	3,1	0,8	
						NG - 1099	18,68	12,25	11,4	0,9	

Belo Horizonte, 21 de junho de 1985.


 Marcelo Cunha
 CRA-II N.º 02300278

CRC.

 Análises geoquímicas e ensaios químicos para minérios, solos, rochas e águas
 Espectrografia Ótica, Plasma ICP, Absorção Atômica, Fluorescência de Raios X e Vila Úmida.



GEOLAB

DIVISÃO DE LABORATÓRIOS DA
GEOSOL - Geologia e Sondagens Ltda.

BOLETIM DE ANÁLISE

N.º 56.803/804

CLIENTE: Minerais do Paraná S.A. MINEROPAR

Setor: GEOP

Área: Marques de Abrantes

PEDIDO: Determinação de Au por Absorção Atómica - ataque com bromo, extração com MTBK em amostras de concentrado de bateia.

(S/Ref.: MEMO 45/85)

(N/Ref.: 69/029-5)

AMOSTRAS	Conc.	Au	Mg/m ³	gr conc/l	AMOSTRAS	Conc	Au	Mg/m ³	gr conc/l
nºs	(gr)	ppm			nºs	(gr)	ppm		
KG - 1102	8,98	7,35	3,3	0,4	KG - 1149	558,36	< 0,05	—	27,9
1103	16,78	14,57	12,2	0,8	1153	107,78	< 0,05	—	5,4
1105	15,49	3,20	2,5	0,8	1156	322,38	0,05	0,8	16,1
1107	12,78	3,40	2,2	0,6	1159	255,78	0,17	2,2	12,8
1109	17,28	1,56	1,3	0,9	1162	69,68	< 0,05	—	3,5
1112	17,88	0,33	0,3	0,9	1164	127,08	< 0,05	—	6,3
1114	62,98	2,52	7,9	3,1	1166	105,78	0,09	0,5	5,3
1117	33,58	0,18	0,3	1,7	1168	63,48	0,60	1,9	3,2
1119	98,68	< 0,05	—	4,9	1172	69,88	1,65	5,8	3,5
1121	46,88	3,54	8,3	2,3	* 1173	55,39	148,38	410,9	2,8
1123	91,28	0,10	0,5	4,7	1175	9,88	47,91	23,7	0,5
1125	19,98	0,68	0,7	1,0	1177	10,58	2,27	1,2	0,5
1129	13,48	0,11	0,1	0,7	1179	16,88	0,44	0,4	0,8
1132	29,48	0,66	1,0	1,5	1182	27,88	4,52	6,3	1,4
1134	22,08	2,10	2,3	1,1	1184	9,38	1,60	0,71	0,5
1137	28,68	0,73	1,1	1,4	1186	17,88	0,67	0,6	0,9
1142	16,68	0,45	0,4	0,8	1188	21,28	2,32	2,5	1,1
1143	15,18	0,69	0,5	0,8	1192	32,68	0,24	0,1	0,6
1145	16,88	4,08	3,4	0,8	1193	17,88	10,37	3,3	0,9
KG - 1147	19,28	5,93	0,9	1,0	KG - 1195	11,59	3,47	2,0	0,6

Belo Horizonte, 20 de junho de 1985.

Mário Cesar Cavalcanti
CRQ-M N.º 02300278

CRC.

Análises geoquímicas e ensaios químicos para minérios, solos, rochas e águas
Espectrografia Óptica, Plasma ICP, Absorção Atómica, Fluorescência de Raios X e Vila Úmida.

Laboratório em Belo Horizonte: Rua Almada 200 - Telefone (031) 221-5586 - Telex (031) 1786 - Reg. no CRQ-II n.º 2036



GEOLAB

DIVISÃO DE LABORATÓRIOS DA

GEOSOL - Geologia e Sondagens Ltda.

BOLETIM DE ANÁLISE

N.º 56.805/806

CLIENTE: Minerais do Paraná S.A. MINEROPAR

Setor: GEOP

Área : Marques de Abrantes

PERÍODO: Determinação de Au por Absorção Atômica - ataque com bromo, extração com MIBK em amostras de concentrado de bateia.

(S/Ref.: MEMO 45/85)

(N/Ref.: 69/029-5)

AMOSTRAS nºs	Conc. (gr)	Au ppm	Mg / m ³	gr conc./l	AMOSTRAS nºs	Conc. (gr)	Au ppm	Mg / m ³	gr conc.
NG - 1197	17,49	2,06	1,8	0,9	NG - 1240	41,19	2,23	4,6	2,1
1199	13,39	0,44	0,3	0,7	1242	31,08	0,29	0,4	1,6
1201	17,28	1,04	0,9	0,9	1244	10,48	2,72	1,4	0,5
1203	26,38	4,85	6,4	1,3	1246	14,39	11,82	8,5	0,7
1205	24,98	< 0,05	—	6,2	1248	12,18	< 0,05	—	0,6
1207	187,19	0,17	1,2	6,9	1252	8,58	< 0,05	—	0,4
1209	92,38	0,58	2,7	4,6	1253	7,59	13,04	4,9	0,4
1212	328,38	0,12	2,0	16,4	1255	10,58	16,07	8,5	0,5
1214	152,38	0,12	0,9	7,6	1257	13,28	0,34	0,2	0,7
1216	177,28	< 0,05	—	8,9	1259	21,38	0,70	0,7	1,1
1218	144,99	< 0,05	—	7,2	1262	13,19	< 0,05	—	0,7
1222	134,25	< 0,05	—	6,7	1264	22,78	0,33	0,4	1,1
1223	253,08	0,45	5,7	12,7	1266	70,68	1,24	4,4	3,5
1225	438,08	0,20	4,4	21,9	1269	233,68	0,95	11,1	11,7
1227	94,99	0,24	1,1	4,7	1272	74,19	0,33	1,2	3,7
1229	333,08	< 0,05	—	6,6	1274	103,48	0,34	1,8	5,2
1232	324,08	< 0,05	—	16,2	1276	75,78	0,05	0,2	3,8
1234	28,98	0,41	0,6	1,4	1280	37,68	< 0,05	—	1,9
1236	175,99	< 0,05	—	8,8	1282	20,38	1,69	1,7	1,0
NG - 1238	80,70	< 0,05	—	4,0	NG - 1286	38,78	3,43	3,2	0,9

Belo Horizonte, 20 de junho de 1985.

Dr. J. C. Cavalcanti

CRQ n.º 02300278

CRC.

Analises geoquímicas e ensaios químicos para minérios, solos, rochas e águas
 Espectrografia Ótica, Plasma ICP, Absorção Atômica, Fluorescência de Raios X e Vía Úmida.

Laboratório em Belo Horizonte MG - Rua Almeida, 200 - Telefone (031) 221-5566 - Telex (031) 1786 - Reg. no CRQ-II nº 2036



GEOLAB

DIVISÃO DE LABORATÓRIOS DA
GEOSOL - Geologia e Sondagens Ltda.

BOLETIM DE ANÁLISE

N.º 56.808/809

CLIENTE: Minerais do Paraná S.A. MINEROPAR

Setor: GEOP

Área : Marques de Abrantes

PEDIÇÃO: Determinação de Au por Absorção Atômica - ataque com bromo, extração com MIBK em amostras de concentrado de bateia.

(S/Ref.: MEMO 45/85)

(N/Ref.: 69/029-5)

AMOSTRAS	Conc. nºs	Au (gr)	Mg /m³	gr conc /l	AMOSTRAS	Conc. nºs	Au ppm	Mg /m³	gr conc
NG - 1289	44,19	0,27	0,6	2,2	NG - 1345	239,18	< 0,05	—	12,0
1293	50,88	0,49	1,2	2,5	1347	96,75	0,10	0,5	4,8
1295	29,28	0,05	0,1	1,5	1349	45,49	< 0,05	—	2,3
1298	74,19	0,91	3,5	3,9	1352	39,80	< 0,05	—	2,0
*1302	41,79	57,00	119,1	2,1	1354	32,37	5,85	9,5	1,6
1305	137,38	0,25	1,7	6,9	1356	30,90	0,05	0,1	1,5
1307	8,98	< 0,05	—	0,4	1359	36,65	0,05	0,1	1,8
1309	287,78	0,05	0,7	14,4	1362	23,49	0,05	0,1	1,7
1312	138,86	3,40	23,6	6,9	1364	42,16	< 0,05	—	2,1
1315	258,84	< 0,05	—	12,9	1366	24,88	< 0,05	—	1,2
1318	147,79	0,15	1,1	7,4	1372	86,43	< 0,05	—	4,3
1321	62,75	0,53	1,7	3,1	1373	66,15	< 0,05	—	3,3
1323	75,99	2,76	10,5	3,8	1375	65,24	< 0,05	—	3,3
1326	32,37	0,14	0,2	1,6	1377	37,25	0,05	0,1	1,9
1329	52,69	0,47	1,2	2,6	1379	78,45	< 0,05	—	3,9
1333	31,99	5,40	8,6	1,6	1382	66,27	< 0,05	—	3,3
1336	32,89	< 0,05	—	19,6	1385	79,79	0,40	1,6	4,0
1338	167,77	0,05	0,4	8,4	1387	67,01	< 0,05	—	3,3
1342	31,17	< 0,05	—	1,6	1392	38,48	< 0,05	—	1,9
NG - 1343	34,99	< 0,05	—	1,7	NG - 1395	297,06	< 0,05	—	14,9

Belo Horizonte, 21 de junho de 1985.

Mário Fábio Cavalcanti

CRQ - N.º 0230027a

CRC.

Análises geoquímicas e ensaios químicos para minérios, solos, rochas e águas
Espectrografia Ótica, Plasma ICP, Absorção Atômica, Fluorescência de Raios X e Vá Omida

Laboratório em Belo Horizonte MG - Rua Almeida 200 - Telefone (031) 221-5566 - Telex (031) 1786 - Reg. no CRQ-II n.º 2036



GEOLAB

DIVISÃO DE LABORATÓRIOS DA
GEOSOL - Geologia e Sondagens Ltda.

BOLETIM DE ANÁLISE

N.º 56.810/811

CLIENTE: Minerais do Paraná S.A. MINEROPAR

Setor: GEOP

Área : Marques de Abrantes

PERÍO: Determinação de Au por Absorção Atómica - ataque com bromo, extração com MIBK em amostras de concentrado de bateia.

(S/Ref.: MEMO 45/85)

(N/Ref.: 69/029-5)

AMOSTRAS	Conc. nºs	Au ppm	Mg/m ³	gr conc/l	AMOSTRAS	Conc. nºs	Au ppm	Mg/m ³	gr.conc
NG - 1396	16.58	0,90	0,7	0,8	NG - 1443	18.80	< 0,05	—	0,9
1399	27.18	0,55	0,7	1,4	1445	13.38	< 0,05	—	0,7
1402	43.58	0,17	0,4	2,2	1448	18.68	< 0,05	—	0,9
1404	22.06	0,34	0,4	1,1	1452	19.21	< 0,05	—	1,0
1406	22.57	0,07	0,1	1,1	1453	32.31	0,65	1,0	1,6
1408	24.48	0,37	0,4	1,2	1455	31.99	< 0,05	—	1,6
1412	13.28	0,11	0,1	0,7	1457	15.38	< 0,05	—	0,8
1414	15.78	0,10	0,1	0,8	1459	19.80	2,12	2,1	1,0
1416	21.18	0,07	0,1	1,1	1462	21.38	1,13	1,2	1,1
1418	11.18	4,43	2,5	0,6	1465	24.48	< 0,05	—	1,2
1422	47.07	1,80	4,2	2,3	1467	14.18	0,52	0,4	0,7
1423	25.18	0,12	0,1	1,3	1469	16.29	< 0,05	—	0,8
1425	9.99	1,50	0,7	0,5	1473	30.75	< 0,05	—	1,5
1427	26.55	0,29	0,3	1,0	1475	16.84	< 0,05	—	0,8
1429	29.48	0,51	0,7	1,5	1477	19.11	2,43	2,3	1,0
1432	15.01	0,10	0,1	0,7	1479	20.39	2,42	2,5	1,0
1434	24.94	0,06	0,1	1,2	1480	27.16	< 0,05	—	1,4
1436	14.08	< 0,05	—	0,7	1483	25.67	0,23	0,3	1,3
1438	18.88	0,16	0,1	0,9	1485	24.87	< 0,05	—	1,2
NG - 1441	11.18	0,27	0,1	0,6	NG - 1487	28.55	< 0,05	—	1,4

Belo Horizonte, 21 de junho de 1985.

*W.F. 
Dirceio Francisco Cavalcanti
CRQ - N.º 02300278*

CRC.

Analises geoquímicas e ensaios químicos para minérios, solos, rochas e águas
Espectrografia Ótica, Plasma ICP, Absorção Atómica, Fluorescência de Raios X e Vila Úmida,

Laboratório em Belo Horizonte MG - Rua Almores, 200 - Telefone (031) 221-5566 - Telex (031) 1786 - Reg. no CRQ-II n.º 2036



GEOLAB

DIVISÃO DE LABORATÓRIOS DA
GEOSOL - Geologia e Sondagens Ltda.

BOLETIM DE ANÁLISE

N.º 56.812/813

CLIENTE: Minerais do Paraná S.A. MINEROPAR

Setor: GEOP

Área : Marques de Abrantes

PEDIDO: Determinação de Au por Absorção Atómica - ataque com bromo, extração com MIBK em amostras de concentrado de bateia.

(S/Ref.: MEMO 45/85)

(N/Ref.: 69/029-5)

AMOSTRAS nºs	Conc. (gr)	Au ppm	Mg/m³ gr conc./l	AMOSTRAS nºs	Conc. (gr)	Au ppm	Mg/m³ gr conc.
NG - 1492	125,38	< 0,05	—	6,3	NG - 1542	19,59	0,23
1493	362,17	< 0,05	—	18,1	1544	10,94	0,2
1494	242,28	< 0,05	—	12,1	1547	493,35	0,12
1495	520,47	< 0,05	—	26,0	1552	31,55	6,75
1497	40,18	0,25	0,5	2,0	1553	30,88	0,25
1502	20,78	0,07	0,1	1,0	1556	28,58	< 0,05
1503	15,19	2,96	2,2	0,8	1558	45,67	< 0,05
1506	20,90	0,07	0,1	1,0	1559	26,03	0,11
1508	21,67	0,14	0,1	1,1	1562	18,25	0,16
1512	267,67	< 0,05	—	13,4	1564	62,17	0,14
1514	48,29	0,55	1,2	2,2	1565	222,06	< 0,05
1518	28,48	0,16	0,2	1,4	1567	36,38	< 0,05
1521	20,88	< 0,05	—	1,0	1569	300,01	0,05
1523	9,28	0,48	0,2	0,5	1573	535,96	< 0,05
1525	14,79	0,50	0,4	0,7	1575	21,38	< 0,05
1527	34,86	< 0,05	—	1,7	1576	13,19	< 0,05
1532	28,08	1,17	1,6	1,4	1578	28,88	0,83
1533	9,79	9,19	4,5	0,5	1582	34,68	0,90
1536	10,53	1,14	0,6	0,5	1585	199,83	0,05
NG - 1538	15,86	0,85	0,7	0,8	NG - 1587	55,75	0,31
							0,9
							2,8

Belo Horizonte, 21 de junho de 1985.

Marcelo F. Souza Jatulicundi
CRQ-II N.º 02300278

CRC.

Analises geoquímicas e ensaios químicos para minérios, solos, rochas e águas
Espectrografia Ótica, Plasma ICP, Absorção Atómica, Fluorescência de Ralos X e Vía Úmida.



GEOLAB

DIVISÃO DE LABORATÓRIOS DA
GEOSOL - Geologia e Sondagens Ltda.

BOLETIM DE ANÁLISE

N.º 56.814

CLIENTE: Minerais do Paraná S.A. MINEROPAR

Setor: GEOP

Área : Marques de Abrantes

PEDIDO : Determinação de Au por Absorção Atômica - ataque com bromo, extração com MIBK em amostras de concentrado de bateia.

(S/Ref.: MEMO 45/85)

(N/Ref.: 69/029-5)

AMOSTRAS nºs	Conc. (gr)	Au ppm	Mg/m³	gr conc /l
NG - 1589	50,50	< 0,05	—	2,5
1592	10,03	0,45	0,2	0,5
1593	14,56	0,62	0,4	0,7
NG - 1595	48,83	< 0,05	—	2,4

Belo Horizonte, 20 de junho de 1985.

Marcelo Fonseca Guavalcantti
CRQ/B N.º 02300278

CRC.

Análises geocquímicas e ensaios químicos para minérios, solos, rochas e águas.
Espectrografia Ótica, Plasma ICP, Absorção Atômica, Fluorescência de Raios X e Vila Úmida.

Laboratório em Belo Horizonte/MG - Rua Almirante 200 - Telefone (031) 221-5566 - Telex (031) 1786 - Reg. no CRQ-B n.º 2036.

RESULTADOS DE ANALISES METODOS RAPIDOS

N/R# : 69-1029-2
Bol. n^o 56.934

~~AVIO AUGUSTO BONI LICHT~~

LABORATÓRIO GEOSOL

MEMORANDO N°

55/85

— LOTE NO. 55/85

GERÊNCIA GEOP

PROJETO MARQUES DE ARRANTES

DATA 5/6/85

RESULTADOS DE ANALISES

MÉTODOS RÁPIDOS

Nº: 607039-5

Bol. nº 56.935

Ch 2
220
DIARIO
AUGUSTO BONILHO
1213-D

LABORATÓRIO

GEOSOL

MEMORANDO Nº

55/85

LOTE Nº

55/85

GERÊNCIA

GEOP

PROFILO MARQUES DE ABRANTES.

DATA

5/6/85

Pb

Ø2

16

12

12

12

12

20

15

22

7

15

18

18

17

22

22

18

13

44*

63*

17

14

12

Ø2

12

ABO Ø2

28

NG

798

Ø3

8ØØ

Ø4

8Ø2

Ø5

8Ø4

Ø6

8Ø6

Ø7

8Ø8

Ø8

8ØØ

Ø9

811

Ø10

813

Ø11

815

Ø12

817

Ø13

819

Ø14

82Ø

Ø15

821

Ø16

824

Ø17

827

Ø18

829

Ø19

83Ø

Ø21

834

Ø22

836

Ø23

838

Ø24

84Ø

Ø25

842

Ø26

28

NG

844

RESULTADOS DE ANALISES
MÉTODOS RÁPIDOS
GEOSOL

LABORATÓRIO:

Nº MOLHADO Nº

55/85

Ref. 0/0
Bol. nº 56.936

FOLH. Nº 55/85

DATA 5/6/85

~~ORIGEM: CREA - RJ
DATA: AGOSTO BONILHON
1713.6~~

GERÊNCIA GEOP.

TROCO MAQUES DE ABRANTES

Pb

ppm

Φ2

8

12

7

7

15

26

17

19

24

23

33*

40*

7

13

(34*)

10

5

L

5

5

6

5

L

5

L

Φ2

L

5

TROCO MAQUES DE ABRANTES

Nº DE LABORATÓRIO	CARTÃO	Nº DE CAMPO	S E O
ABO Φ27	28	NG	846
Φ28			848
Φ29			850
Φ30			851
Φ31			853
Φ32			855
Φ33			857
Φ34			859
Φ35			860
Φ36			861
Φ37			864
Φ38			866
Φ39			868
Φ40			870
Φ41			871
Φ42			873
Φ43			875
Φ44			877
Φ45			879
Φ46			881
Φ47			883
Φ48			885
Φ49			887
ABO Φ50	28	NG	889

RESULTADOS DE ANALISES METODOS RAPIDOS

LABORATÓRIO. GEOSOL

MEMORANDO N° - 55/85

N. T.: 10394
Bol. n° 56.937

- 50 -

TE NO. 55/85

LOTE N° 55/85

GERÊNCIA GEO

PROJETO MARQUES DE ABRANTES

DATA 5/6/85

DATA 5/6/85

LABORATÓRIO GEOSOL

MEMORANDO N°

55/85

FILE NO. 55/85

GERÊNCIA DE GEOP

PROJETO MARQUES DE ABRANTES

DATA 5/6/85

DATA 5/6/85

GERÊNCIA GEOP PROJETO MARQUES DE ABRANTES DATA 5/6/85

DATA 5/6/85

RESULTADOS DE ANALISES METODOS RAPIDOS

LABORATÓRIO **GEOSOL**

MEMORANDO N° **55/85**

IT.: 1039

Bol. n° 56.939

FOTE N° **55/85**

~~CHAMADA
CARTA - RJ 1713-D~~

GERÊNCIA **GEOP**

PROJETO MARQUES DE ABRANTES

DATA **5/6/85**

Pb

2 3 4 9 10 11 12 13 ppm 14 15 20 21 22 23 18 29 30 31

Ø2 5
10
8
10
5
L 5
L 5
L 5
L 5
L 5
L 5
L 5
5
19
15
19
42⁺
8
21
14
9
11
14
24
Ø2 22

37 38 39 40 41 46 47 48 49 54 55 56 57 58 63

N.º DE LABORATÓRIO	CARTÃO	N.º DE CAMPO	S.E.O
ABO 1ØØ	28	NG 985	1
1Ø1		987	2
1Ø2		989	3
1Ø3		99Ø	4
1Ø5		994	5
1Ø6		996	6
1Ø7		998	7
1Ø8		1ØØØ	8
1Ø9		1ØØ2	9
1ØØ		1ØØ4	10
1ØØ		1ØØ6	11
1ØØ		1ØØ8	12
1ØØ		1ØØ9	13
1ØØ		1Ø1Ø	14
1ØØ		1Ø11	15
1ØØ		1Ø14	16
1ØØ		1Ø16	17
1ØØ		1Ø18	18
1ØØ		1Ø19	19
1ØØ		1Ø24	20
1ØØ		1Ø25	21
1ØØ		1Ø27	22
1ØØ		1Ø28	23
ABO 1ØØ	28	NG 1Ø3Ø	24

RESULTADOS DE ANÁLISES

MÉTODOS RÁPIDOS

Nº Ref.: 69/039-5

Bol. nº 56.940

ANALISADO
DATA: 06/06/85
PESO: 1000g
CÓDIGO: 1713-0
LOCAL: MARQUES DE ABRANTES
ESTADO: RIO DE JANEIRO
MUNICÍPIO: VITRÍO DO PARANÁ

LABORATÓRIO GEOSOL

MEMORANDO N° 55/85

LOTE N° 55/85

GERÊNCIA GEOP

PROJETO MARQUES DE ABRANTES

DATA 5/6/85

Pb

02

(33*)

21

16

17

16

16

19

16

18

31

17

69

75*

78

79

27

84

(102*)

110*

110*

40

14

12

02

ppm

18

19

20

21

22

27

28

29

30

31

36

37

38

39

40

45

46

47

48

49

54

55

56

57

58

63

71

76

77

78

79

80

81

ABO 125

126

127

128

129

130

131

132

133

134

135

136

137

138

139

140

141

142

143

144

145

146

147

ABO 149

28 NG 1031

1033

1035

1037

1038

1040

1041

1043

1045

1047

1049

1050

1051

1054

1056

1058

1060

1061

1063

1065

1067

1069

1070

28 NG 1074

RESULTADOS DE ANALISES MÉTODOS KAPIDOS

LABORATÓRIO GEOSOL

MEMORANDO N°

55/85

Nº Ref. 69/039-5

Bolet. nº 56.942

9/20
CNPJ 1713-0
CEA-RJ 1713-0
CONYLICH

GERÊNCIA GEOP.

PROJETO MARQUES. DE ABRANTES

LOTE N° 55/85

DATA 56/85

Pb

Ø2

18

15

15

18

23*

17

15

13

22

20

8

12

7

17

7

9

L 5

16

36*

12

18

17

15

Ø2

7

Nº DE LABORATÓRIO	CARTÃO	Nº DE CAMPO
71	76 77 78 79 80	
ABO 174	28 NG	112Ø
175		1122
176		1124
177		1126
178		1127
179		1129
180		113Ø
181		1131
182		1133
183		1135
184		1136
186		1139
187		114Ø
188		1141
189		1144
190		1146
191		1148
192		115Ø
193		1151
194		1152
195		1154
196		1155
197		1157
ABO 198	28 NG	1158

IC. 10
OTAVIO RUSCONI BON LICH
CREA-RJ 1113-0

S E Q	Nº DE LABORATÓRIO	CARTÃO	Nº DE CAMPO																																						
				1	2	3	4	9	10	11	12	13	ppm	18	19	20	21	22	27	28	29	30	31	36	37	38	39	40	45	46	47	48	49	54	55	56	57	58	63	71	76
1	Pb	ABO199	28 NG 1160	1																																					
2	16	2Φ0	1161	2																																					
3	17	2Φ1	1163	3																																					
4	16	2Φ2	1165	4																																					
5	19	2Φ3	1167	5																																					
6	25	2Φ4	1169	6																																					
7	20	2Φ5	117Φ	7																																					
8	17	2Φ6	1171	8																																					
9	16	2Φ7	1174	9																																					
10	22	2Φ8	1176	10																																					
11	25	2Φ9	1178	11																																					
12	11	210	1180	12																																					
13	13	211	1181	13																																					
14	12	212	1183	14																																					
15	16	213	1185	15																																					
16	14	214	1187	16																																					
17	13	215	1189	17																																					
18	14	216	1190	18																																					
19	13	218	1194	19																																					
20	34	219	1196	20																																					
21	35	220	1198	21																																					
22	31	221	12ΦΦ	22																																					
23	24	222	12Φ2	23																																					
24	35	ABO223	28 NG 12Φ4	24																																					
25	Φ2	43*																																							

RESULTADOS DE ANALISES MÉTODOS RÁPIDOS

LABORATÓRIO

GEOSOL

MEMORANDO N°

55/85

GERÊNCIA

GEOP

PROJETO MARQUES DE ABRANTES

N.º f.: 201039
Bol. n° 56.944

LOTE N°

55/85

DATA

5/6/85

TOTAVIO AUGUSTO DONILIGHT
TRECA - RJ 1713-D

Pb

Ø2

15

15

17

19

18

14

13

14

8

9

10

10

12

14

(36*)

15

12

12

7

14

15

13

16

Ø2

12

Nº DE LABORATÓRIO	CARTÃO	Nº DE CAMPO	S E Q			
71	76	72	78	70	80	
ABO 224	28 NG	1246	1			
225		1248	2			
226		1210	3			
227		1211	4			
228		1213	5			
525		1215	6			
526		1217	7			
527		1219	8			
528		1220	9			
529		1221	10			
530		1224	11			
531		1226	12			
532		1228	13			
533		1230	14			
534		1231	15			
535		1233	16			
536		1235	17			
537		1237	18			
538		1239	19			
539		1241	20			
540		1243	21			
541		1245	22			
542		1247	23			
ABO 543	28 NG	1249	24			

RESULTADOS DE ANALISES MÉTODOS RÁPIDOS

LABORATÓRIO GEOSOL

MEMORANDO N° 55/85

GERÊNCIA GEOP

PROJETO MARQUES DE ABRANTES

N.º F.: 50/039

Bol. n° 56.945

FOLHA N.º 55/85

DATA 5/6/85

ANA 12
 JUNHO 1985
 CREA-RJ
 1213-D
 LON LUCHI

Pb

Ø2

18

17

19

13

14

10

12

5

L 5

10

10

13

10

7

9

L 5

6

7

8

11

6

10

9

Ø2

19

ABO 544

545

546

547

548

549

55Ø

SS1

552

553

554

555

557

558

559

56Ø

561

562

563

564

565

566

567

568

ZB NG

28 NG 125Ø

1251

1254

1256

1258

126Ø

1261

1263

1265

1267

1268

127Ø

1273

1275

1277

1278

1279

1281

1283

1284

1285

1287

1288

129Ø

RESULTADOS DE ANAISSES MÉTODOS RÁPIDOS

Bol. nº 56.946

LABORATÓRIO GEOSEL

MEMORANDO Nº 55/85

TOTAL Nº 55/85

GERÊNCIA GEOP

PROJETO MARQUES DE ABRANTES

DATA 5/6/85

*OTAVIO ALVES
EST. 85
17/3/85
PRO. D. LICH*

Pb

Ø2

(26*)

15

19

10

13

22

21

22

29

59*

16

18

11

(35*)

9

9

7

9

9

11

14

9

14

Ø2

14

Nº DE LABORATÓRIO	CARTÃO	Nº DE CAMPO	S E Q
ABO569	28 NG	1291	1
57Ø		1292	2
571		1294	3
572		1296	4
573		1297	5
574		1299	6
575		130Ø	7
576		1301	8
577		1303	9
578		1304	10
579		1306	11
58Ø		1308	12
581		131Ø	13
582		1311	14
583		1313	15
584		1314	16
585		1316	17
586		1317	18
587		1319	19
588		132Ø	20
589		1322	21
59Ø		1324	22
591		1325	23
ABO592	28 NG	1327	24

I menor que o valor requerido
G maior que o valor requerido
N não detectado

P amostra perdida
I amostra insuficiente

RESULTADOS DE ANÁLISES MÉTODOS RÁPIDOS

Bol. n° 56.243.

LABORATORIO GEOSOL

MEMORANDO N° 55/85

55/85

FILE NO. 55/B5

GIRENCIA_GEOF

PROJETO MARQUES DE ARRANTES

DATA 5/6/85

RESULTADOS DE ANALISES MÉTODOS RÁPIDOS

~~1~~ f. : ~~1~~ / 0
Bol. 56.949

16 120
OTAVIO AUGUSTO BON LICHIT
CREA. RY 1313-D

LABORATÓRIO GEOSOL

MEMORANDO N° 55/85

GERÊNCIA GEOP

PROJETO MARQUES DE ABRANTES

LOTE N° 55/85

DATA 5/6/85

Nº DE LABORATÓRIO	CARTÃO	Nº DE CAMPO	S E O
71	76	77	78
79	80	28	NG
A80	642	1413	1
	643	1415	2
	644	1417	3
	645	1419	4
	646	1420	5
	647	1421	6
	648	1424	7
	649	1426	8
	650	1428	9
	651	1430	10
	653	1433	11
	654	1435	12
	655	1437	13
	656	1439	14
	657	1440	15
	658	1442	16
	659	1444	17
	660	1446	18
	661	1447	19
	662	1449	20
	663	1450	21
	664	1451	22
	665	1454	23
A80	666	1456	24

RESULTADOS DE ANÁLISES MÉTODOS RÁPIDOS

LABORATÓRIO **GEOSOL**

MEMORANDO N° **55/85**

GERÊNCIA **GEOP**

PROJETO **MARQUES DE ABRANTES**

Ref.: P/01
Bol. n° 56.950

-04/01/1985
CRA - RJ 1713-D
REGISTRO DE LOTE
MARQUES DE ABRANTES

LOTE N° **55/85**

DATA **5/6/85**

Pb

Ø2

10

6

7

9

9

10

12

11

(33*)

13

12

12

14

13

10

12

11

10

10

11

20*

11

Ø2

11

Nº DE LABORATÓRIO	CARTÃO	Nº DE CAMPO
71	76	S E Q 1
ABO 667	28 NG 1458	2
668	146Ø	3
669	1461	4
67Ø	1463	5
671	1464	6
672	1466	7
673	1468	8
674	147Ø	9
675	1471	10
676	1472	11
677	1474	12
678	1476	13
679	1478	14
68Ø	1481	15
681	1482	16
682	1484	17
683	1486	18
684	1488	19
685	1489	20
686	149Ø	21
687	1491	22
688	1496	23
689	1498	24
ABO 69Ø	28 NG 1499	25

E menor para o valor registrado
G maior que o valor registrado
N não detectado

P amostra perdida
I amostra insuficiente

Obs.:

TALEM FOLHA 1

RESULTADOS DE ANAISSES METOJOS RAPIDOS

LABORATÓRIO GEOSOL

MEMORANDO N° 55/85

GERÊNCIA GEOP

PROJETO MARQUES DE ABRANTES

Bol. n° 56.951
 OTAVIO AUGUSTO E. LIMA
 CREA-RJ 1713-D
 DATA 5/6/85

S	E	Pb	ppm	1	2	3	4	9	10	11	12	13	18	19	20	21	22	27	28	29	30	31	36	37	38	39	40	45	46	47	48	49	54	55	56	57	58	63
1	2	02	13																																			
2	3		15																																			
3	4		12																																			
4	5		16																																			
5	6		10																																			
6	7		15																																			
7	8		9																																			
8	9		10																																			
9	10		11																																			
10	11		13																																			
11	12		16																																			
12	13		7																																			
13	14		11																																			
14	15		13																																			
15	16		17																																			
16	17		16																																			
17	18		12																																			
18	19		8																																			
19	20		21*																																			
20	21		18																																			
21	22		14																																			
22	23		16																																			
23	24		14																																			
24		02	27*																																			

OBS.:

IDEM FOLHA 1

Nº DE LABORATÓRIO	CARTÃO	Nº DE CAMPO
71	76	28 NG 1500
692		1501
693		1504
694		1505
695		1507
696		1509
697		1510
699		1513
700		1515
701		1516
702		1517
703		1519
704		1520
705		1522
706		1524
707		1526
708		1528
709		1529
710		1530
711		1531
712		1534
713		1535
714		1537
ABO 715	28	NG 1539

L = não que o valor registrado é maior que o valor registrado no detectado
 G = não que o valor registrado é menor que o valor registrado no detectado
 N = amostra perdida
 P = amostra perdida
 I = amostra malfeita

RESULTADOS DE ANALISES MÉTODOS RÁPIDOS

LABORATÓRIO GEOSEL

MEMORANDO N° ____

55/85

Bal. n° 56.952

NOTE NO. 55/85

GERÊNCIA GEOP

PROJETO MARQUES DE ABRANTES

NOTE NO. 55 / 85

DATA - 5/6/85 -

S. I.
IDEM FOLHA L

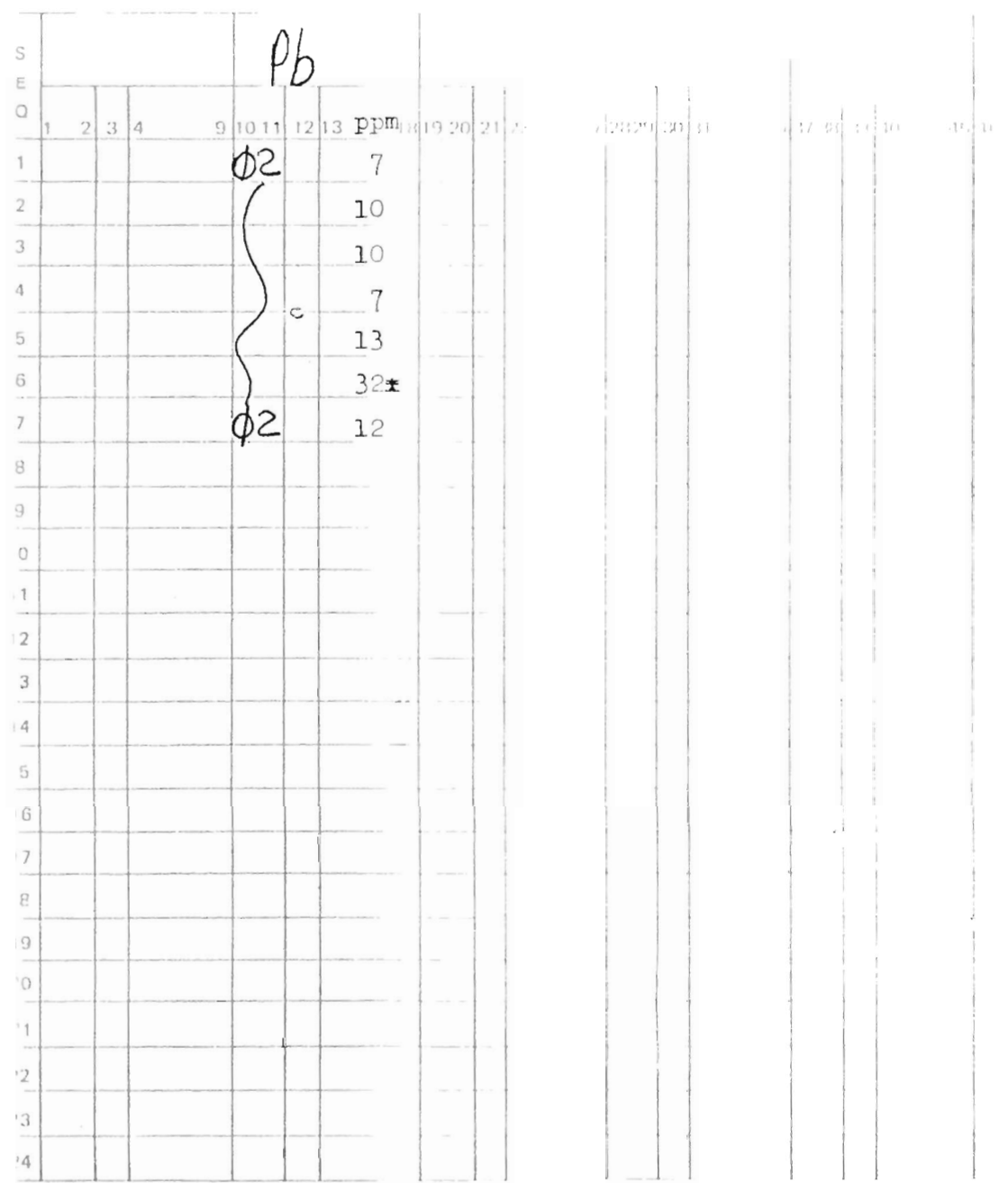
E	menor que o valor registrado	R	ruído sotornado
M	maior que o valor registrado	P	amostra perdida
N	mais de 10% maior	I	amostra imprópria

RESULTADOS DE ANÁLISE
LABORATÓRIO - GEOSOL
REF. GEOP

MÉTODOS RÁPIDOS
55/85

BOL. nº 56.953

20



MARQUES DE ABRANTES

5/6/85

Nº DE CAMPO

A80741 28 NG 1583
 { 742 1584
 { 743 1586
 { 744 1588
 { 745 1590
 { 746 1591
 A80747 28 NG 1594

OBS.:

IDEM FOLHA 1

anomalia detectada
menor que o valor esperado
mas maior que o valor apelidado
ou não detectada

H

P

J

amostra perdida
amostra insuficiente



CLIENTE: Minerais do Paraná S.A. - MINEROPAR Setor: GEOP
 Área : Marques de Abrantes.

PEDIDO : Determinação de Au em amostras de concentrado de bateia.

(S/Ref.: MEMO 35/85)

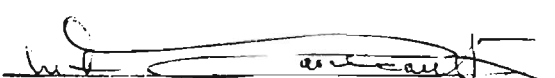
(N/Ref.: 69/022-5)

Poços Orientativos

AMOSTRAS nºs	"P" Pesc total do conc. (g)	Au ppm	Au * mg	Au mg/m³
HO - QP - 01	36,67	1,81	0,066	3,3
HO - B - P 01	15,73	0,57	0,009	0,4
HO - C - P 01	35,96	0,28	0,010	0,5
HO - O - P 02	12,91	0,68	0,009	0,4
HO - A - P 02 + escura	37,15	0,10	0,004	0,2
HO - A - P 02 + clara	32,44	1,57	0,051	2,5
HO - B - P 02	10,20	4,85	0,049	2,4
HO - C - P 02	15,00	4,46	0,067	3,3
HO - O - P 03	9,93	0,77	0,007	0,3
HO - A - P 03	10,20	0,86	0,009	0,4
HO - B - P 03	5,62	6,85	0,038	1,9
HO - C - P 03	7,12	2,16	0,015	0,7
HO - O - P 04	43,78	0,45	0,020	1,0
HO - A - P 04	17,81	0,28	0,005	0,2
HO - B - P 04	8,76	1,25	0,011	0,5
HO - C - P 04	12,00	0,45	0,005	0,2
HO - O - P 05	44,29	0,18	0,008	0,4
HO - A - P 05	25,27	1,48	0,037	1,8
HO - B - P 05	8,70	1,64	0,014	0,7
HO - C - P 05	16,61	< 0,06	< 0,001	-
HO - O - P 06	30,50	0,20	0,006	0,3
HO - A - P 06	38,79	0,05	0,002	0,1
HO - B - P 06	10,87	< 0,10	< 0,001	-
HO - C - P 06	11,17	< 0,10	< 0,001	-

* = mg de Au contido em "P" gramas do concentrado recebido p/ análise.

Belo Horizonte, 14 de maio de 1985.


 Marcelo Fonseca Cavalcanti

CRQ II N.º 02300278

CRC.

Análises geoquímicas e ensaios químicos para minérios, solos, rochas e águas
 Espectrografia Ótica, Plasma ICP, Absorção Atômica, Fluorescência de Raios X e Vácuo.

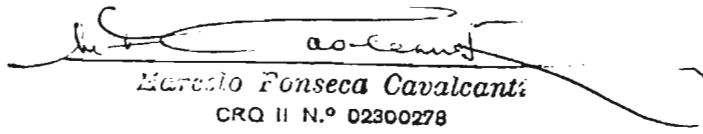


CLIENTE: Minerais do Paraná S.A. MINEROFAR Setor: GEOP
 Área : Marques de Abrantes
 PEDIDO : Determinação de Au em amostras de concentrado de bateia.
 (S/Ref.: MEMO 35/85)
 (N/Ref.: 69/022-5)

AMOSTRAS nºs	"P" Peso total do conc. (g)	Au ppm	Au * mg	Au mg/cm³
HO - O - P 07	54,59	< 0,05	< 0,002	—
HO - A - P 07	18,94	0,10	0,002	0,1
HO - B - P 07	19,42	0,05	0,001	—
HO - C - P 07	21,57	0,14	0,003	0,1
HO - O - P 08	47,07	0,05	0,002	0,1
HO - A - P 08	16,61	0,18	0,003	0,1
HO - B - P 08	21,58	< 0,07	< 0,002	—
HO - C - P 08	36,87	0,11	0,004	0,2
HO - O - P 09	31,65	< 0,05	< 0,002	—
HO - B - P 09	36,46	0,16	0,006	0,3
HO - B - AWV - P 09	67,38	1,14	0,077	3,8
HO - O - P 10	29,93	0,10	0,003	0,1
HO - A - P 10	33,16	< 0,05	< 0,002	—
HO - B - P 10	45,70	< 0,05	< 0,002	—
HO - C - P 10	22,24	< 0,05	< 0,001	—
HO - O - P 11	22,23	< 0,05	< 0,001	—
HO - A - P 11	18,19	< 0,05	< 0,001	—
HO - B - P 11	42,93	< 0,05	< 0,002	—
HO - C - P 11	71,06	< 0,05	< 0,003	—
HO - O - P 12	16,08	< 0,06	< 0,001	—
HO - A - P 12	16,48	< 0,06	< 0,001	—
HO - B - P 12	27,98	< 0,05	< 0,002	—
HO - C - P 12	18,91	< 0,05	< 0,001	—

* = mg de Au contido em "P" gramas do concentrado recebido p/ análise.

Belo Horizonte, 14 de maio de 1985.


 Marcos Fonseca Cavalcanti
 CRQ II N.º 02300278

CRC.

Análises geoquímicas e ensaios químicos para minérios, solos, rochas e águas
 Espectrografia Ótica, Plasma ICP, Absorção Atómica, Fluorescência de Raios X e Via Úmida.



CLIENTE: Minerais do Paraná S.A. MINEROPAR Setor: GEOP
 Área : Marques de Abrantes
 PESSOAL : Determinação de Au em amostras de concentrado de bateia.
 (S/Ref.: MEMO 35/85)
 (N/Ref.: 69/022-5)

AMOSTRAS nºs	"P" Peso total do conc. (g)	Au ppm	Au * mg	Au mg/m³
HO - O - P 13	16,70	0,06	0,001	—
HO - A - P 13	14,42	0,48	0,007	0,3
HO - B - P 13	16,06	0,06	0,001	—
HO - C - P 13	23,86	0,38	0,009	0,4
HO - O - P 14	9,37	< 0,12	< 0,001	—
HO - A - P 14	15,51	0,13	0,002	0,1
HO - B - P 14	23,42	< 0,06	< 0,002	—
HO - C - P 14	16,32	0,80	0,013	0,6
HO - O - P 15	12,89	0,42	0,005	0,2
HO - A - P 15	62,09	0,14	0,009	0,4
HO - B - P 15	38,73	< 0,05	< 0,002	—
HO - C - P 15	35,07	< 0,05	< 0,002	—
HO - O - P 16	28,68	< 0,05	< 0,002	—
HO - A - P 16	29,59	< 0,05	< 0,002	—
HO - B - P 16	35,84	< 0,05	< 0,002	—
HO - C - P 16	23,80	< 0,06	< 0,002	—
HO - O - P 17	12,51	< 0,09	< 0,001	—
HO - A - P 17	10,54	0,62	0,006	0,3
HO - B - P 17	41,10	< 0,05	< 0,002	—
HO - C - P 17	21,11	< 0,05	< 0,001	—
HO - O - P 18	58,47	< 0,05	< 0,003	—
HO - A - P 18	16,48	< 0,06	< 0,001	—
HO - B - P 18	17,58	< 0,05	< 0,001	—
HO - C - P 18	31,06	< 0,05	< 0,001	—

* = mg de Au contido em "P" gramas do concentrado recebido p/ análise.

Belo Horizonte, 14 de maio de 1985.

Marcio Ponceca Cavalcanti

CRQ II N.º 02300278

CRC.

Análises geoquímicas e ensaios químicos para minérios, solos, rochas e águas
 Espectrografia Ótica, Plasma ICP, Absorção Atómica, Fluorescência de Ratos X e Vía Úmida.



GEOLAB

DIVISÃO DE LABORATÓRIOS DA

GEOSOL - Geologia e Sondagens Ltda.

BOLETIM DE ANÁLISE

N.º 56.345A/346A

CLIENTE: Minerais do Paraná S.A. MINEROPAR Setor: GEOF (S/Ref.: MEMO 34/85)
Área : Marques de Abrantes (N/Ref.: 69/021-5)

PEDIDO: Determinação de Pb por Absorção Atómica -- extração com EDTA 0,25% a frio, com agitação mecânica durante 10 minutos em amostras de solo na fração < 80 mesh.

AMOSTRAS	Pb	AMOSTRAS	Pb
nºs	ppm	nºs	ppm
A - 1	10	B - 7	2,0
A - 4	10	B + 8	2,0
A - 5	10	C - 9	3,0
A - 6	10	C - 10	3,0
A - 7	10	(1) - 10	4,0
A - 8	10	D - 11	4,0
A - 9	10	E - 12	4,0
A - 10	10	F - 13	4,0
A - 11	10	G - 14	4,0
A - 12	10	H - 15	4,0
A - 13	10	I - 16	4,0
A - 14	10	J - 17	4,0
A - 15	10	K - 18	2,0

* = Resultado confirmado.

Belo Horizonte, 04 de junho de 1985.

Marcelo Fonseca Cavaleanti
 CRQ III N.º 02300278

CRG.

Analises geoquímicas e ensaios químicos para minérios, solos, rochas e águas.
 Espectrografia Ótica, Plasma ICP, Absorção Atómica, Fluorescência de Raios X e Vira Umida.



GEOLAB

DIVISÃO DE LABORATÓRIOS DA

GEOSOL - Geologia e Sondagens Ltda.

BOLETIM DE ANÁLISE

N.º 56.347A

CLIENTE: Minerais do Paraná S.A. MINEROPAR Setor: GEOP (S/Ref.: MEMO 34/85)
 Área : Marques de Abrantes (N/Ref.: 69/021-5)

PEDIDO: Determinação de Pb por Absorção Atômica - extração com EDTA 0,25% a frio, com agitação mecânica durante 10 minutos em amostras de solo na fração < 80 mesh.

AMOSTRAS nºs	Pb	Pt
		PPM
O - 1	6,0*	
A - 1	10,0*	
B - 1	8,5*	
B + C - 1	13,0*	
O - 2	3,5	
A - 2	3,0	
M - 2	3,0	
B + C - 2	2,5	
A - 3	2,5	
B - 3	2,5	
C - 3	2,5	
A - 4	2,5	
B - 4	2,5	
C - 4	2,5	
A - 5	2,5	
B - 5	2,5	
C - 5	2,5	
A - 6	2,5	
B - 6	2,5	
C - 6	2,5	
A - 7	2,5	
B - 7	2,5	
C - 7	2,5	
A - 8	2,5	
B - 8	2,5	
C - 8	2,5	

* = Resultado confirmado.

Belo Horizonte, 04 de Junho de 1985.

[Signature]
Marcelo Fonseca Cavalcanti

CRQ II N.º 08000278

CRC.

Análises geoquímicas e ensaios químicos para minérios, solos, rochas e águas
 Espectrografia Ótica, Plasma ICP, Absorção Atômica, Fluorescência de Raios X e Vida Úmida.

Laboratório em Belo Horizonte, MG - Rua Almada, 200 - Telefone (031) 221-5566 - Telex (031) 1786 - Reg. no CRQ-II n.º 2036



GEOLAB

DIVISÃO DE LABORATÓRIOS DA
GEOSOL - Geologia e Sondagens Ltda.

BOLETIM DE ANÁLISE

N.º 56.348 A

CLIENTE: Minerais do Paraná S.A. MINEROPAR Setor: GECP (S/Ref.: MEMO 34/85)
Área : Marques de Abrantes (N/Ref.: 69/021-5)

PEDIDO: Determinação de Pb por Absorção Atómica - extração com EDTA 0,25% a frio, com agitação mecânica durante 10 minutos em amostras de rocha na fração < 200 mesh.

AMOSTRAS	Pb
nºs	ppm
C - 1 - RX	12,0*
C - 2 - RX	2,5
C - 3 - RX	1,5
C - 4 - RX	2,5
C - 5 - RX	2,0
C - 6 - RX	2,5
C - 7 - RX	2,0
C - 8 - RX	5,0*
C - 10 - RX	2,0*
C - 11 - RX	4,5
C - 12 - RI	6,0*
C - 13 - RI	1,5
C - 14 - RX	3,5
C - 15 - RX	< 1,0
C - 16 - RI	3,5*
C - 17 - RI	10,0*
C - 18 - RX	7,0*

* = Resultado confirmado.

Belo Horizonte, 04 de junho de 1985.

Marcelo Fonseca Cavalcanti

CRQ-II N.º 02300178

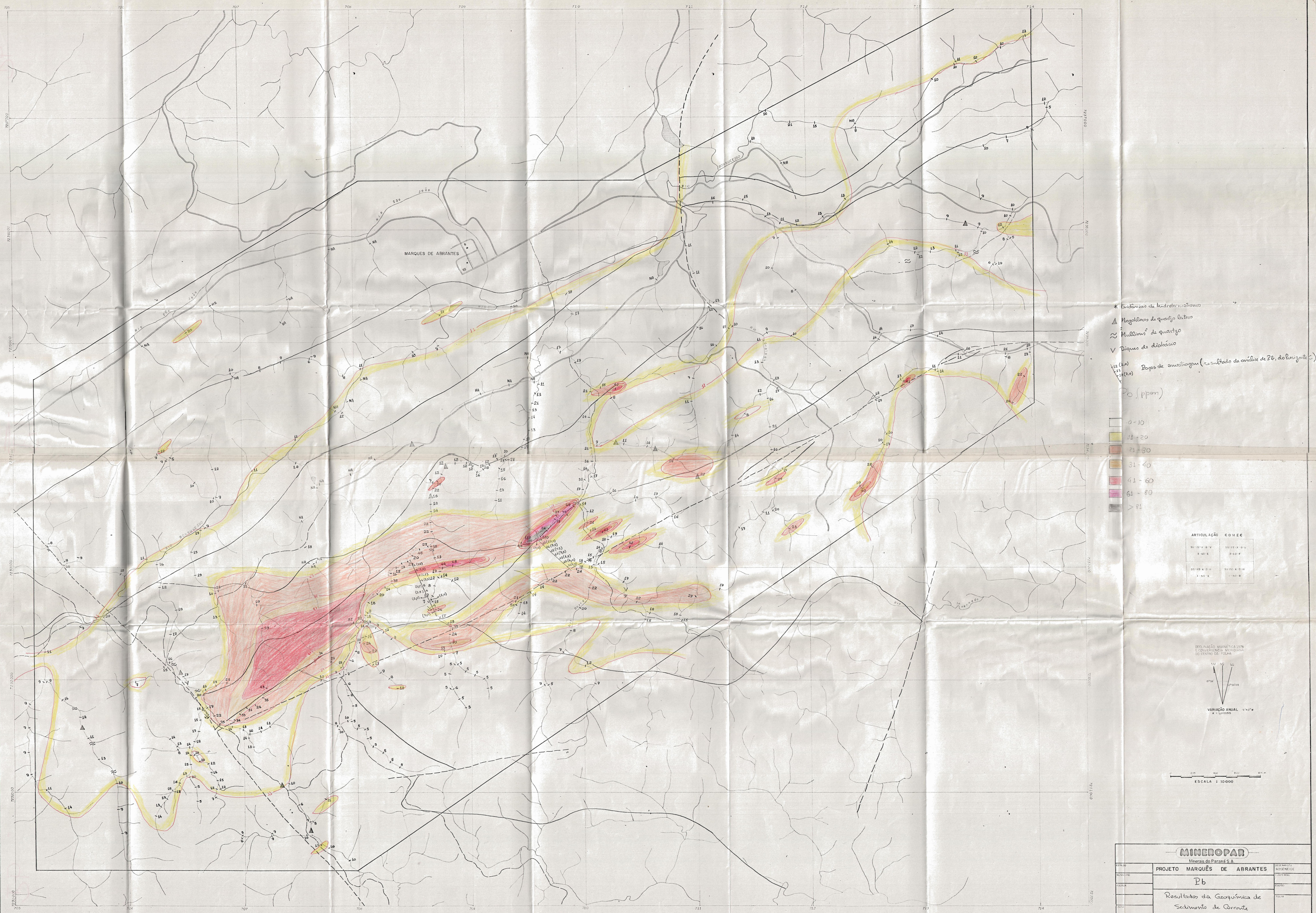
C.E.C.

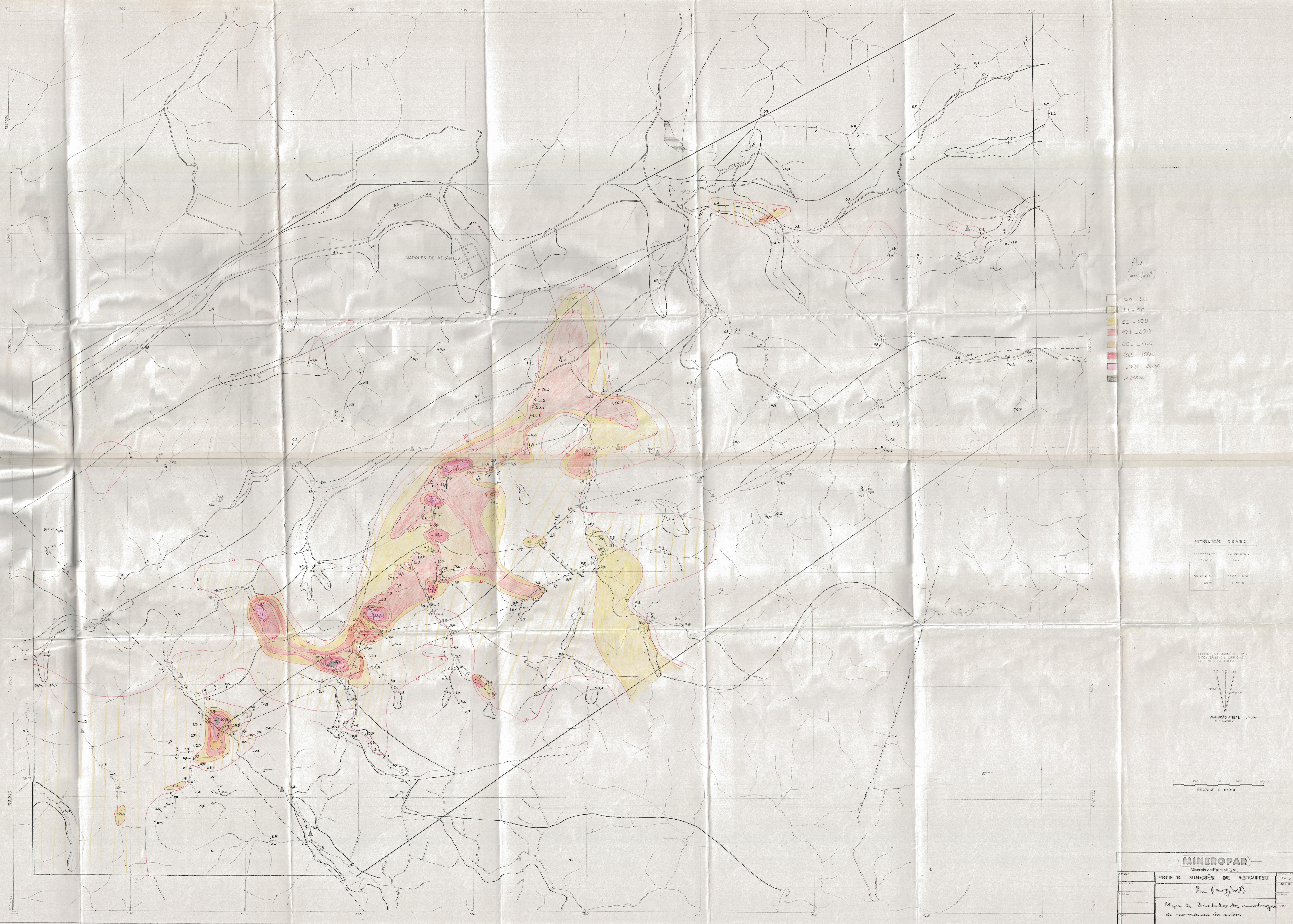
Análises geoquímicas e ensaios químicos para minérios, solos, rochas e águas
Espectrografia Óptica, Plasma ICP, Absorção Atómica, Fluorescência de Raios X e Vila Úmida.

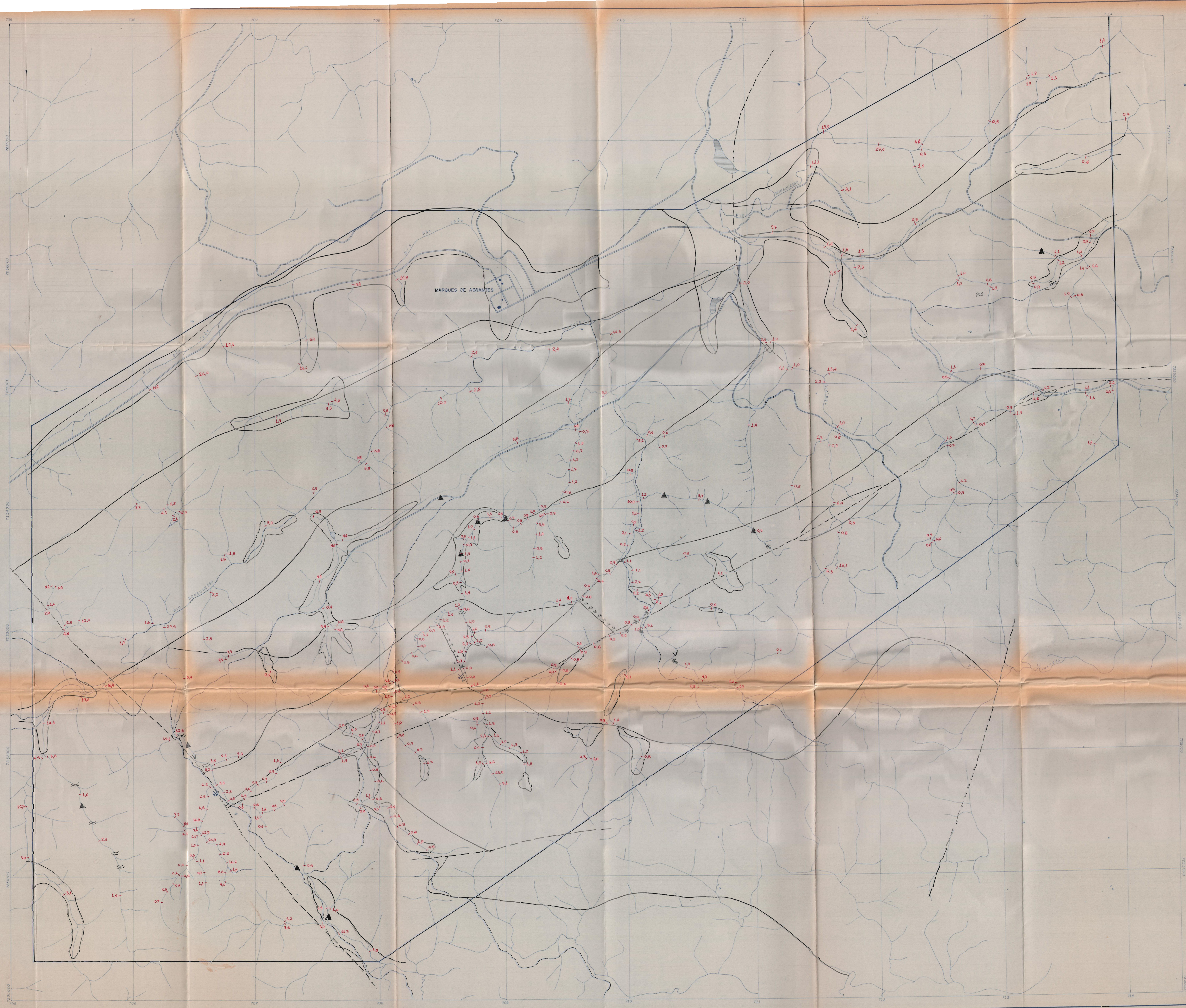
Laboratório em Belo Horizonte, MG - Rua Almirante, 200 - Telefone (031) 221-5566 - Telex (031) 1786 - Reg. no CRQ-II n.º 2036

QUADRO 2 - SUMÁRIO DOS PRINCIPAIS PONTOS DESCritos NA ÁREA DE MARQUÉS DE ABRANTES

PONTO	AMOSTRA	ALTITUDE		DESCRICAÇÃO	ANALISES QUÍMICAS	
		PLANO MEDIDO	ALTITUDE		Au	Pb
JC-1128	-	Lineação	N70E	Cataclasito quartzítico(feldspáttico ?)	-	-
JC-1129	-	Foliação pp	N55E,vert.	Cataclasito quartítico		
JC-1131	JC-274	Foliação pp	N46E,74NW	Muscovita xisto com mullions de qzo, muscovita qzoxisto e cataclásitos gnássicos	0,05	14
JC-1133	-	Foliação pp	N70E,vert.	Gnaisse cataclasado + blocos métricos de qzo.		
JC-1134	-	Foliação pp	N67E,80NW	Muscovita qzoxisto cataclasado		
JC-1135	-	-	-	Blocos métricos de quartzo leitoso		
JC-1136	JC-275	-	-	Silexisto ou quartzo muito fino,transposto	0,05	15
	JC-276	-	-	Silexisto ou carbonatada silicificada com "box-works".	0,05	29
JC-1141	-	Foliação pp	N55E,67NW	Sericita xisto prateado com "mullions" de quartzo		
JC-1143	-	Foliação pp	N45E,67NW	Antigas lavras de Au Sericita xisto quartzoso, esverdeado e prateado junto a quartzo xistos com muscovita		
JC-1152	-	Foliação pp	N70E,28NW	Gnaisse equigranular rosado, pouco foliado		
JC-1157	-	Foliação pp	N54W,vert.	Cataclasito gnássico		
JC-1158	JC-277	S.	N50E,70SE	Leito de silexito(metachert ?) ou calcário silicificado. Alâmina mostra uma brecha não foliada com seixos de turmalinito microcristalino e matriz de quartzo hidrotermal com cristais bipiramidados. O turmalinito(seixos) é foliado.		
JC-1161	-	Foliação pp	N50E,Vert.	Quartzo mica xisto		
JC-1164	JC-278	-	-	Granitóide alaskítica. Confirmado em lâmina	0,05	18
JC-1170	JC-279	-	-	Granitóide vermelha muito hidrotermalizada. A parte clara é de granito alaskítico. A parte escura é poiquilitica, com hornblenda,biotita e esteno em aglomerados e o epidoto dentro dos feldspatos.	0,05	34
JC-1172	JC-280	-	-	Musc. Xisto cataclasado com módulos fibro-radiais. A turmalina é azul(albita) e é claramente pré-cinemática, sendo contornada pela foliação		
JC-1176	-	Foliação pp	N70E,75NW	Quartzo sericita xisto prateado. Blocos de quartzo e quartzo xisto.		
JC-1178	-	Foliação pp	N56E,54NW	Quartzo-set.muscovita xisto prateado. Banco de quartzo micáceo		
JC-1188	-	Foliação pp	N65E,Vert.	Qzo xisto maciço e quartzo branco, muito friável		
JC-1189	-	Foliação pp	N57E,57SE	Metassiltito bandado com intercalações de quartzo branco friável		
JC-1190	-	Foliação pp	N65E,60NW	Muscovita qzoxisto com intercalações de quartzo branco friável		
JC-1195	-	Foliação pp	N52E,Vert.	Muscovita xisto prateado		
JC-1197	-	Foliação pp	N70E,57NW	Muscovita xisto prateado		
JC-1198	-	Foliação pp	N57E,57NW	Muscovita xisto prateado		
JC-1199	-	Foliação pp	N70E,35NW	Muscovita xisto prateado		
JC-1201	-	Foliação pp	N69E,49NW	Quartzo xisto com vénulas de muscovita		
JC-1204	-	Foliação pp	N75E,52NW	Muscovita xisto prateado		
JC-1205	-	Foliação pp	N65E,49NW	Muscovita-quartzo xisto e qzo-muscovita xisto		
JC-1209	-	Foliação pp	N51E,50NW	Muscovita xisto com "livros" de mica		
JC-1210	-	Contato-So	N52E,79SE	Contato entre xisto feldspáttico branco e intercalações quartzito. Presença de xisto a clorita e muscovita		
JC-1211	-	Foliação pp	N40E,Vert.	Muscovita xisto prateado		
JC-1212	-	Foliação pp	N55E,77SE	Muscovita-clorita(?)-xisto, cõr vinho e prateado		
JC-1213	-	Foliação pp	N57E,72NW	Muscovita-clorita(?)-xisto cõr vinho e prateado		
JC-1214	-	Foliação pp	N50E,73SE	Muscovita-xisto prateado ,algo carbonoso		
JC-1215	-	Foliação pp	N80E,53SE	Muscovita xisto prateado,cõr amarela		
JC-1217	-	Foliação pp	N70E,Vert.	Muscovita-clorita(?)xisto cõr vinho,prateado		
JC-1219	-	Foliação pp	N44E,76NW	Muscovita-clorita xisto cõr vinho		
JC-1220	-	Foliação pp	N70E,56NW	Muscovita-clorita xisto cõr verde		
JC-1223	-	Foliação pp	N46E,56NW	Gradação de muscovita xisto vermelho para muscovita quartzo xisto branco.		
JC-1224	-	Foliação pp	N75E,46SE	Muscovita xisto prateado		
JC-1227	JC-281	Foliação pp	N75E,Vert.	Scta-clta-biotita xisto.A biotita é aleatória em relação a primeira foliação mas é cortada pela segunda, uma clivagem de crenulação.		
JC-1228	-	Foliação pp	N75E,Vert.	Muscovita xisto com "mullions" de quartzo		
JC-1229	-	Foliação pp	N70E,Vert.	Muscovita xisto prateado		
JC-1230	-	Foliação pp	N65E,82NW	Muscovita xisto prateado com "mullions" de qzo.		
JC-1231	-	Foliação pp	N62E,Vert.	Muscovita xisto prateado com "mullions" de qzo.		
JC-1233	JC-282	Foliação pp	N63E,69NW	Cta-carbonato-scta-biotita xisto.Há duas biotitas, uma da foliação e outra em cristais maiores,distribuídas aleatoriamente.		
JC-1236	-	Foliação pp	N52E,79NW	Muscovita xisto prateado gradando para sericita xisto amarelo, plaqueado.		
JC-1237	-	Foliação pp	N85E,52NW	Muscovita xisto prateado		
JC-1241	-	Foliação pp	N75E,80NW	Grande afloramento de quartzo leitoso que grada para quartzitos à muscovita, seguidos pelas muscovita xistos prateados com "mullions" de quartzo		
JC-1243	-	Foliação pp	N80E,Vert.	Muscovita xisto com "mullions" de quartzo		
JC-1244	JC-283	-	-	Biotita-sericita xisto feldspáttico,de origem petrólitica, cataclasado		
JC-1246	-	-	-	Antiga lavra de Au.		
JC-1253	-	Foliação pp	N45E,72NW	Sericita xisto metassiltico, cõr amarela		
JC-1254	-	Foliação pp	N43E,84SE	Quartzo xisto grosseiro que gradam para quartzitos micáceos		
JC-1257	-	Foliação pp	N42E,60NW	Muscovita xisto prateado		
JC-1258	-	Foliação pp	N70E,70SE	Muscovita-quartzo xisto		
JC-1263	-	Foliação pp	N23E,43NW	Muscovita xisto prateado		
		Foliação pp	N43E,67NW	Muscovita-biotita(?)xisto		
JC-1264	-	Foliação pp	N60E,64NW	Muscovita-biotita(?)xisto		
JC-1266	-	Foliação pp	N65E,50NW	Xisto terrígeno,cõr vinho, com muscovita e biotita		
JC-1267	-	Foliação pp	N77E,69NW	Muscovita-biotita xisto,cõr vermelha		
JC-1268	-	Foliação pp	N39E,50NW	Muscovita-biotita xisto com "livros" de mica		
JC-1269	-	Foliação pp	N28E,58NW	Sericita xisto terrígeno,cõr vinho		
JC-1270	-	Foliação pp	N33E,63NW	Muscovita xisto amarelo-esverdeado		
JC-1273	-	Foliação pp	N37E,60NW	Muscovita-quartzo xisto vermelho		
JC-1274	-	Foliação pp	N25E,67NW	Metassiltito sericitico cõr vinho,com vénulas de quartzo e muitas micas alatôrias.		
JC-1275	-	Foliação pp	N48E,75NW	Metassiltitos à sericita, amarrrotados,quartzosos		







MINEROPAR	
Mineração Fazenda A	
ESTADO	ESCRITÓRIO
MUNICÍPIO	PROJETO MARQUES DE ABRANTES
FISCAL	gr. pesador / litro de casca lho
DATA	Mapa de distribuição (g/l) de minérios pesados coletado nos canais de balsa.

ARTICULAÇÃO CBM E C
50-22-X-B-V
3-50-E
50-22-X-B-V
3-50-F

DECLINAÇÃO MAGNÉTICA 1976
E CONVERGÊNCIA MERIDIANA
DO CENTRO DA FOLHA

NO NO
87°56' 87°55'59"
VARIANTE ANUAL 8.4078

0 500 1000 1500 2000 2500 m



LEGENDA

				DESCRICAÇÃO DAS LITOLOGIAS
PROTERÓZOICO INFERIOR	PROTERÓZOICO SUPERIOR	AÇUNGUI	CAPIRU	
"PRÉ-SETUVA"		SETUVA	PERAU	
				Qa Depósitos aluviais
			PSc Sericita xistos indivisos	
			PScm Sericita xistos metassílticos, eventualmente com mullions de quartzo	
			PScq Quartzites friáveis, Quartzites maciços, quartzo xisto e muscovita quartzo xisto	
			PIpx Quartzo mica xisto, muscovita xisto, sericita clorita-biotita xisto e raros biotita-sericita xistos carbonáticos	
			PIpsi Cataclásitos silicosos, hidrotermatizados, brechas turmaliníticas e cataclásitos gnaissicos	
			PIpsgn Gnaisses cataclásados e silicificados	
			PIpsq Gnaisses cataclásados por transposição, silicificados e foliados.	

SIMBOLOGIA

- ▲ Blocos métricos de quartzo leitoso
- ~ Mullions de quartzo
- * Evidências de hidrotermalismo
- V Blocos rolados ou afloramento de basalto
- Falha mapeada e/ou inferida
- - - Contato geológico mapeado ou inferido
- 10
11
12
13 Poços de pesquisa
- Drenagens
- Estradas e caminhos
- ↑ Inclinação fisionão principal da recua no local
- X Lavra abandonada

ARTICULACION	COMERCIO
SG-22-X-B-V	SG-22-X-B-V
3-SO-E	3-SO-F
SG-22-X-D-H	SG-22-X-D-H
I-NO-A	I-NO-B

DECLINAÇÃO MAGNÉTICA 1976 E CONVERGÊNCIA MERIDIANA DO CENTRO DA FOLHA

A horizontal scale bar with numerical markings at 0, 200, 400, 600, and 800. Below the scale bar, the text "ESCALA 1:10 000" is written.

MINEROPAR

Minerais do Paraná S.A.

PROJETO MARQUES DE ABRANTES

Anomalias de Hu e Eb

Mapa Geológico Preliminar



Legenda

- JC-1223 - Ponto descrito
- (JC-272) - Amostra coletada e laminada
- (JC-285) - Amostra coletada.

FOLHA PERDO CARVALHO (7230-7233)

PONTO DESCrito = 68
AMOSTRA COLETADA E LAMINADA = 6
AMOSTRA COLETADA = 1

FOLHA ESTRELA D'ELSA (7234-7237)

PONTO DESCrito = 81
AMOSTRA COLETADA E LAMINADA = 2
AMOSTRA COLETADA = 2

ARTICULACAO	COME
SG-12 X 8-V	SG-22 X 19-V
3-50-V	3-50-V

SG-12 X 10-H	SG-22 X 10-H
I-50-H	I-50-H

DECLINAÇÃO MAGNETICA 1976
E CONVERGÊNCIA MELHORADA
DO CORDEIRO DA POLA

NW NO NE

0°56' 0°56' 0°56'

VARIACAO ANUAL 0.407W

0 200 400 600 800 m

MINEROPAR	
Minerais do Pará S.A.	
ESTADO:	PROJETO MARQUES DE ABRANTES
MUNICIPIO:	ROSENEDO
SCALA:	1:50.000
DATA:	10/06/06

Perfilagem Geologica
Mapa de pontos descritos.



FOLHA EPITACIO PERDIDA (7234-7233)

- SED CORRENTE = 171
- CORE BATERIA = 171
- SED CORRENTE = 45

FOLHA PAR DO CADORRO (7230-7233)

- SED CORRENTE = 203
- CORE BATERIA = 203
- SED CORRENTE = 26

ARTICULACAO	COMECE
50-22-1-B-V 50-22-2-B-V 50-22-3-B-V	50-22-1-C-H 50-22-2-C-H 50-22-3-C-H
1-10-1-E 1-10-1-N	1-10-1-E 1-10-1-N

DECLINAÇÃO MAGNÉTICA 1976
CONVERGÊNCIA MÍNIMA
DO CENTRO DA CHAFA

ESCALA 1:100.000

MINEROPAR

Minerais do Paraná S.A.

DESENHISTA
RODRIGO

PROJETO MARQUES DE ABRANTES

DATA

FOLHA

Bacias de coleta de amostras
de concentrado de bateia e se-
dimento de corrente.

